



Levé géologique et prospection, été 2014

Projet Lac Tétépisca

Réservoir Manicouagan, Québec



GM 6 94 93



Benoit Lafrance, géo, Ph.D.

Guillaume Mathieu, Ing. Jr.

Mai 2015

15 01 007

Ressources naturelles et Faune, Québec

17 MAI 2016

DIR. INFORM. GÉOL.

REÇU

26 MAI 2015

DIRECTION GÉNÉRALE DE LA
GESTION DU MILIEU MINIER

Résumé

Le projet Lac Tétépisca est détenu à 100% par Focus Graphite Inc. Il est situé dans le secteur du réservoir Manicouagan sur la Côte-Nord au Québec. Les travaux ont ciblé les paragneiss de la Formation de Nault de la Province de Grenville qui sont connus pour leur potentiel en minéralisations graphiteuses comme les gisements du Lac Knife et du Lac Guéret.

L'indice de graphite Manicouagan Ouest a été découvert par prospection en juillet 2012 par Focus (Mathieu et Lafrance, 2013). Cet indice, qui est localisé sur le flanc est d'une structure antiforme régionale, fait partie d'un horizon minéralisé long de plusieurs kilomètres. L'importante épaisseur ainsi que la forte continuité de la zone minéralisée ont été confirmées lors des travaux de tranchées de 2013 qui ont rapporté des teneurs de 12,8 % Cg (carbone graphitique) sur 88,5 m et 11,0 % Cg sur 84,0 m.

Les travaux de levé géologique et de prospection de 2014 ont ciblé en priorité le même horizon stratigraphique, mais cette fois, sur le flanc ouest du pli antiforme régional. Des travaux de levé électromagnétique au sol dans le domaine du temps (TDEM) combiné à un levé magnétique sur les extensions de l'indice Manicouagan Ouest ainsi que 16 forages d'exploration ont également été complétés en 2014.

Trois types de minéralisation sont observés : la minéralisation disséminée qui contient des paillettes grossières de graphite (millimétrique), la minéralisation semi-massive à paillettes fine à grossières (15 à 30 % de graphite) et la minéralisation en veine localisée en périphérie des zones minéralisées semi-massives.

Neuf des 22 échantillons choisis en affleurement possèdent une teneur en carbone graphitique (Cg) qui varie de 16 % à 54,2 %.

La campagne de levé géologique et de prospection a permis de confirmer le potentiel du flanc ouest par la découverte d'une zone conductrice épaisse de 20 à 120 m et recoupée en neuf endroits sur une longueur de 860 m. La minéralisation est constituée de graphite et de sulfures disséminés dans le paragneiss de la Formation de Nault (3,86 % et 7,49 % Cg) et de niveaux de graphite semi-massif à teneur élevée (26,9 %, 35,1 % et 36 % Cg). Trois autres zones conductrices plus modestes et quelques occurrences ponctuelles ont aussi été découvertes le long du flanc ouest.

Il est recommandé d'effectuer un levé magnétique et électromagnétique au sol de type IMAGEM ou PhiSpy couvrant environ quatre kilomètres du flanc ouest. Ceci permettra de voir s'il existe une continuité entre les quatre conducteurs identifiés jusqu'à maintenant et de connaître leur épaisseur.

Il est également recommandé d'effectuer des travaux de tranchée transversalement à cette zone conductrice à fort potentiel dans le but d'observer le type ainsi que l'épaisseur de la minéralisation graphiteuse.

Abstract

The 100% owned Lac Tétépisca project is located near the Manicouagan Reservoir in the Côte-Nord region of Québec. Exploration work was performed over the paragneissic rocks of the Nault Formation known for their potential to host graphite deposits similar to the Lac Knife and Lac Guéret deposits. The project is located in the Grenville geological province.

The Manicouagan Ouest graphite showing was discovered by Focus in July 2012 following prospection work. This showing is located on the eastern limb of a regional antiformal structure and is part of a kilometeric mineralized horizon. Important thicknesses as well as strike length of the mineralized horizon was confirmed by a trenching program in 2013 where assays from two trenches returned up to 88.5 m at 12.82% graphitic carbon (Cg) and 84 m at 11% Cg respectively.

The 2014 prospecting and geological mapping work targeted the same mineralized horizon but, this time, the work was performed on the western limb of the regional fold. The 2014 exploration program also consisted of ground geophysical Time Domain Electromagnetic (“TDEM”) survey over the extensions of the Manicouagan Ouest horizon and 16 exploration drill holes in the vicinity of the showing to test the horizon at depth.

Three types of mineralized rocks were observed on outcrops: disseminated large graphite flakes (millimetre-size), semi-massive mineralization that contains 15-30% large to fine graphite flakes and vein-type mineralization which is located on the edge of the former.

Nine of the twenty-two samples collected from outcrop have high grade graphitic carbon content that vary from 16% to 54.2% Cg.

The prospecting and geological mapping campaign demonstrated a very good potential along the western fold limb where a 20 to 120 meter-thick conductive horizon was delineated over a strike length of 860 meters with the help of nine traverses. The graphitic mineralization observed within the Nault Formation paragneiss includes disseminated graphite (3.86% and 7.49% Cg) and sulphides as well as some high grade occurrences of semi-massive graphite (26.9%, 35.1% and 36% Cg). Three shorter conductive horizons have also been observed as well as isolated occurrences along the western limb area.

It is recommended to conduct a ground electromagnetic follow-up with an INFINITEM or PhiSpy system over about 4 kilometers over the graphitic horizon strike length of the western limb area. This will estimate the thickness and the potential lateral strike length continuity of the four individual conductive horizons.

It is also recommended to complete trenching work over the principal conductor with the objective of confirming the thickness and the type of the graphitic mineralization.

Table des matières

Résumé	ii
Abstract.....	iii
Liste des figures	v
Liste des tableaux.....	v
Liste des plans.....	v
Liste des annexes	vi
Introduction	1
Description du projet	2
Localisation et accès	2
Climat	3
Physiographie.....	3
Faune et flore.....	3
Historique des travaux.....	5
Travaux par Focus Graphite	5
Géologie	7
Géologie régionale.....	7
Géologie locale.....	8
Minéralisations régionales.....	10
Graphite	10
Autres substances	10
Travaux connexes 2014, secteur du réservoir Manicouagan	11
Coupe de ligne et géophysique au sol	11
Forage d'exploration.....	11
Levé géologique et prospection 2014 , projet Lac Tétépisca.....	13
Description des travaux	13
Échantillonnage.....	13
Protocoles analytiques et contrôle de qualité.....	14
Résultats du levé géologique et de la prospection.....	15
Géologie	15

Minéralisations	16
Résultats d'analyses	17
Interprétation et potentiel.....	19
Flanc ouest	19
Bande ouest	20
Secteur de l'Indice Manicouagan Ouest	20
Secteur du camp du lac de l'Éventail	20
Conclusion et recommandations	22
Références bibliographiques	23
ANNEXES	26

Liste des figures

Figure 1. Carte de localisation générale du projet Lac Tétépisca, Côte-Nord du Québec.....	2
Figure 2: Carte de localisation des titres miniers du projet Lac Tétépisca en 2014 (SNRC 22N03).....	4
Figure 3: Carte de localisation des grilles géophysiques et des conducteurs électromagnétiques interprétés à partir du levé IMAGEM	12
Figure 4: Métatexite d'origine sédimentaire, Formation de Nault.....	15
Figure 5: Formation de fer rubanée à magnétite.	16
Figure 6: Minéralisation semi-massive (26,9 % Cg).	17
Figure 7: Carte de localisation des 4 affleurements découverts en 2014 dans le secteur de l'indice Manicouagan Ouest.....	21

Liste des tableaux

Tableau 1: Liste des meilleures teneurs des échantillons choisis, campagne de prospection 2014, projet Lac Tétépisca	18
---	----

Liste des plans

Plan 1. Carte géologique du projet Lac Tétépisca	hors texte
Plan 2: Carte géologique des secteurs flanc ouest et bande ouest.....	hors texte

Liste des annexes

Annexe 1: Liste des titres cellules désignées sur carte, projet Lac Tétépisca (novembre 2014)	27
Annexe 2: Description des stations de la campagne de prospection 2014, projet Lac Tétépisca	30
Annexe 3: Résultats d'analyses pour le carbone graphitique (Cg) et les éléments traces.....	41
Annexe 4: Résultats des analyses lithogéochimiques	52
Annexe 5: Certificat d'analyses VO14174657 pour le carbone graphitique et les éléments traces	53
Annexe 6: Certificat d'analyses lithogéochimiques VO14174556.....	60

Introduction

Le projet Lac Tétépisca est situé au sud-ouest du Réservoir Manicouagan, à environ 220 kilomètres au nord de la ville de Baie-Comeau, sur la Côte-Nord au Québec, Canada. La campagne de l'automne 2014 fait suite à la découverte en juillet 2012 de l'indice de graphite Manicouagan Ouest et aux travaux de tranchées de 2013 qui ont confirmé la minéralisation sur de fortes épaisseurs. L'indice est encaissé dans les paragneiss de la Formation de Nault, équivalent métamorphique de la Formation de Menihék, connue pour ses minéralisations en graphite (gisements du Lac Knife et du Lac Guéret).

L'indice de graphite Manicouagan Ouest est situé sur le flanc est d'une structure anticlinale régionale qui a été mieux définie avec les travaux d'exploration de 2013. Ces travaux étaient situés dans les secteurs du flanc est, de la charnière et dans la partie sud du flanc ouest du pli. Les travaux de prospection et le levé géologique de 2014 décrit dans ce rapport ont ciblé la partie nord du flanc ouest de cette même structure. Le secteur étant peu affleurant et le graphite étant un bon conducteur, un tapis de prospecteur (Beep Mat) a été utilisé.

Ce présent rapport contient la description des travaux effectués, la description des stations, les résultats d'analyses, la description du contrôle de qualité et les certificats d'analyses. Les informations et abréviations géologiques utilisées dans ce rapport sont dérivées de celles de la base de données gouvernementale SIGEOM.

Description du projet

Localisation et accès

Le projet Lac Tétépisca (**figure 1**) se situe à environ 75 kilomètres au nord-ouest du barrage Daniel-Johnson (Manic-5). Il est localisé dans les feuillets SNRC 22N03 et 22N06 et est accessible par un réseau de chemins forestiers à partir du km 202 ou du km 211 de la route provinciale 389 qui relie Baie-Comeau à Fermont. Un réseau secondaire et tertiaire d'anciens chemins forestiers permet un accès aisé en camion ou en véhicule tout terrain à tous les secteurs du projet.



Figure 1. Carte de localisation générale du projet Lac Tétépisca, Côte-Nord du Québec.

Le projet est constitué d'un seul bloc de claims de forme irrégulière. Il est bordé à l'est par le réservoir Manicouagan et est détenu à 100 % par Focus Graphite Inc. (**figure 2**). La liste des 102 claims désignés sur carte (CDC) couvrant 5503 hectares est disponible à l'**annexe 1**.

La totalité des titres est située sur le Nitassinan de Betsiamites tel que défini par l'entente de principe d'ordre général signée entre les Premières Nations de Mamuitin et de Nutashkuan (Innues) et les gouvernements du Canada et du Québec.

Climat

Le climat de la région est typique du centre Nord-du-Québec. L'hiver dure de six à sept mois, avec des chutes de neige importantes de décembre à avril. L'été est généralement frais et humide. La possibilité d'effectuer des travaux de cartographie et de décapage est limitée à l'été et au début de l'automne. Le forage et les études géophysiques peuvent en revanche être menés toute l'année.

Physiographie

L'altitude varie de 360 m au niveau du réservoir Manicouagan à 640 m dans les collines situées à une dizaine de kilomètres au sud-ouest de la rive du réservoir. La topographie est dominée par des dépôts glaciaires qui recouvrent le socle rocheux de manière éparse. Le mouvement glaciaire dominant, venu du nord, a raboté les structures préexistantes orientées nord-nord-est créant des vallées linéaires nord-sud parcourues par des rivières ou des ruisseaux ou occupées par des lacs et des marécages et localement bordées de petites falaises arrondies (Lyons *et al.*, 2012).

Faune et flore

La forêt boréale couvre le secteur. Les espèces arborescentes principales sont l'épinette noire associée au sapin baumier. On trouve communément des bosquets de bouleau noir et de mélèze d'Amérique dans les zones humides. Le sous-bois est dominé par des arbrisseaux comme le thé du Labrador, l'aulne vert crispé, le cerisier de Virginie et plusieurs autres buissons à baies dont différentes espèces de bleuets, l'airelle rouge et du kalmia à feuilles étroites.

Les incendies estivaux de 1991 et l'exploitation forestière au début des années 2000 ont considérablement réduit le couvert végétal. La couverture boisée dense ne représente qu'un quart de la superficie du projet.

Les observations de représentants de la faune sont rares et fortuites, notons la présence de cervidés (orignal et caribou forestier), de porc-épic, d'ours, de loups, de renards et de très nombreuses gélinottes et téttras (observations personnelles).

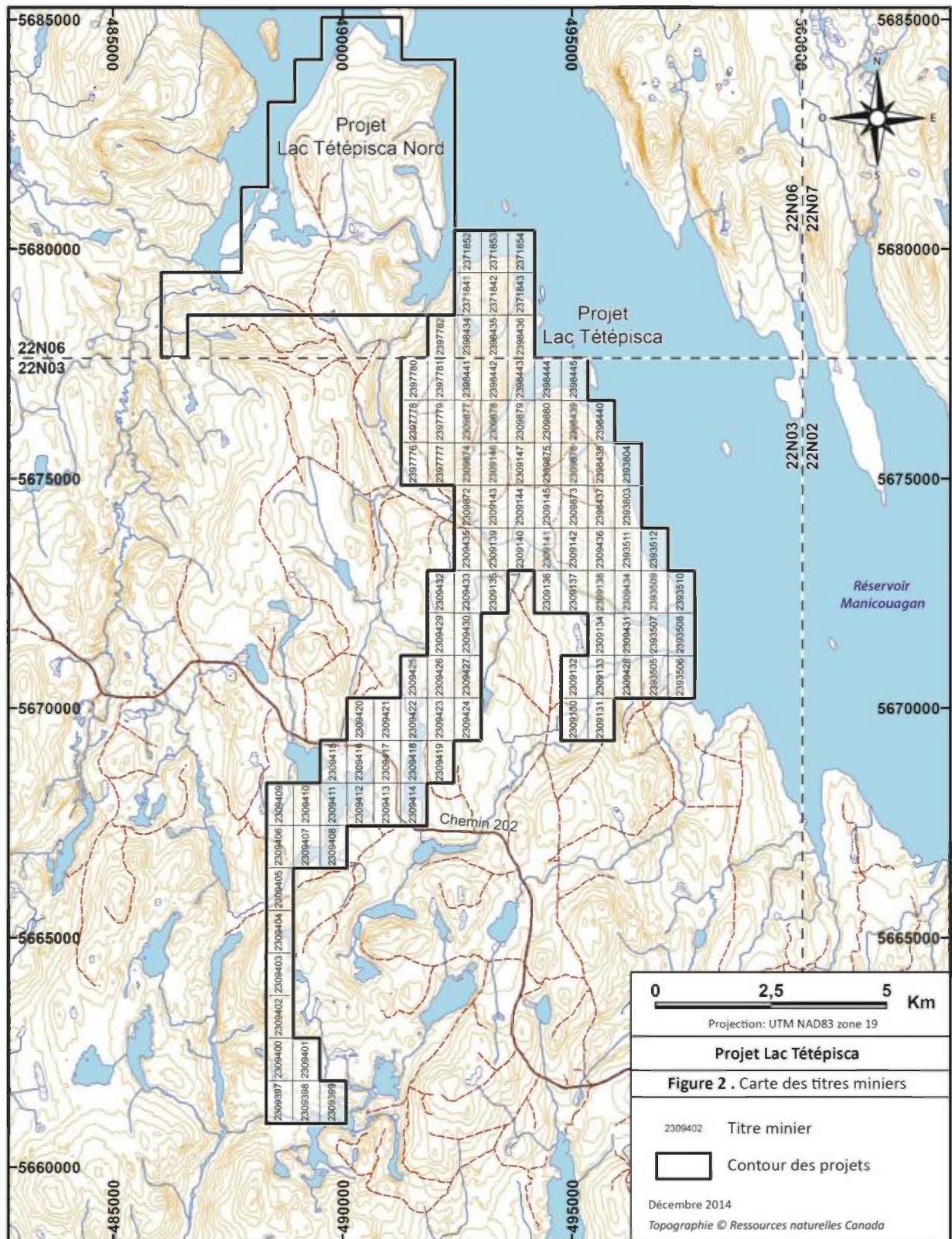


Figure 2: Carte de localisation des titres miniers du projet Lac Tétépisca en 2014 (SNRC 22N03).

Historique des travaux

- 1962 : cartographie par la Cie Québec Cartier, évaluation des formations de fer du secteur, découverte de trois gîtes totalisant 110 millions de tonnes courtes (non 43-101) à proximité du lac Guéret (Ferreira, 1962a, GM 12609 et Ferreira, 1962b GM 13176).
- 1965 : levé géologique dans la région du lac Tétépisca par le Ministère des Richesses naturelles du Québec (Murtaugh, 1965, RP 536).
- années 1960 : Cartographie au 1 : 250 000 dans le cadre du projet Grenville par le Ministère des Richesses naturelles du Québec (Franconi *et al.*, 1971, DP 127, Franconi *et al.*, 1975, RG 162).
- 2002 : prospection et coupes de lignes (17 kilomètres linéaires) et huit décapages cumulant 603 m linéaires menés par Quinto Technology Inc. (Quinto) (Lyons et Trudeau, 2002, GM 60485), levé TDEM hélicoptéré de 2545 kilomètres linéaires par Geotech sur deux blocs, un bloc centré sur le lac Guéret et un autre couvrant le cisaillement régional centré sur le lac des Passes et donc l'actuel projet Lac Guinécourt de Focus (Bagrianski, 2003, GM 60497).
- 2003 : Travaux menés par la coentreprise Quinto et SOQUEM Inc. (SOQUEM)
 - coupe de ligne (39.5 kilomètres linéaires) et cartographie dans le secteur sud (Graphi-Centre) suivis par 24 décapages (Rioux *et al.*, 2004, GM 60464);
 - levé Max-Min sur l'indice Baie du Nickel (Roy et Paré, 2004, GM 60839);
 - dix forages d'exploration et une cinquantaine de tranchées sur le gîte du Lac Guéret (Lyons, 2005a, GM 61963);
 - vérification au sol d'anomalies électromagnétiques (Hurtubise, 2003, GM 60531).
- 2004 poursuite des travaux de la coentreprise SOQUEM et Quinto :
 - cartographie et huit tranchées dans le secteur du Lac Guéret (Roy, 2004, GM 61184);
 - une trentaine de tranchées sur le gîte du Lac Guéret (Lyons, 2005a, GM 61963, Lyons, 2005b, GM 61964).
- 2011 : Cartographie régionale par le Ministère des Ressources naturelles et de la Faune du Québec (Moukhsil et Solgadi, 2011a, Moukhsil et Solgadi, 2011b, Moukhsil *et al.*, 2013).
- 2012 : Levé magnétique aéroporté dans le secteur de Manic-Outardes par le Ministère des Ressources naturelles et de la Faune du Québec (D'Amours et Intissar, 2012, DP 2012-03).

Travaux par Focus Graphite

- 2012 : Cartographie et prospection sur le projet Lac Tétépisca, découverte de l'indice Manicouagan Ouest (Mathieu et Lafrance, 2013, GM 67924).

- 2013 : Levé magnétique et électromagnétique aérien par NOVATEM (Mouge et Astic, 2013, GM 67551), mise en évidence d'un conducteur kilométrique dans le secteur de l'indice Manicouagan Ouest et d'un antiforme régional.
- 2013 : Prospection et suivi au sol du conducteur électromagnétique sur le flanc est et dans la charnière du pli (Lafrance et Mathieu, 2015), mise en évidence de l'épaisseur importante du conducteur et planification d'un programme d'échantillonnage en tranchées.
- 2013 : Réalisation de deux tranchées creusées transversalement au conducteur associé à l'indice Manicouagan Ouest, des intervalles minéralisés de 12.82 % Cg sur 88.5 m et 11.00 % Cg sur 84.0 m ont été recoupés.

Géologie

Géologie régionale

Le projet Lac Tétépisca est situé dans la Province de Grenville à une centaine de kilomètres au sud-est du Front de Grenville. Cette structure orientée nord-est sud-ouest sépare la Province de Grenville au sud de la Province du Supérieur au nord. Le projet est localisé dans le parautochtone grenvillien, une unité lithotectonique épaisse de plusieurs dizaines de kilomètres et parallèle au Front.

Le projet du Lac Tétépisca (**plan 1**) est localisé dans la partie septentrionale de la ceinture parautochtone, représentée par les roches paléoprotérozoïques du Groupe de Gagnon en discordance ou en chevauchement sur les roches archéennes du Complexe de Ulamen (2693 ±4Ma, 2685 ±2Ma, Jordan *et al.* 2006).

Le Complexe archéen de Ulamen est essentiellement composé de tonalite gneissique et de gneiss grisâtres granulitique, tonalitique, et granitique à minéraux mafiques comme la hornblende, le clinopyroxène, l'orthopyroxène et la biotite. Ces unités tonalitiques et gneissiques sont injectées de niveaux de gabbro gneissique de quelques dizaines de mètres d'épaisseur qui contiennent du clinopyroxène, de la hornblende, du plagioclase et du grenat poeciloblastique.

Le Groupe de Gagnon est composé de plusieurs formations (Moukhsil et Solgadi, 2011a, 2011b; Moukhsil *et al.*, 2013) qui sont de la base au sommet : les marbres dolomitiques à calcitiques de la Formation de Duley qui est surmontée en non-conformité par le quartzite de la Formation de Wapussakato; les formations de fer aux faciès à oxydes, à silicates et à silicates et carbonates de la Formation de Wabush; et la Formation de Nault qui est constituée de paragneiss à biotite, grenat, sillimanite et trace de graphite qui peut être migmatisé ainsi que de paragneiss schisteux à graphite (jusqu'à 90 % de la roche). Cet assemblage sédimentaire est caractéristique d'une plateforme continentale. Une lithologie à amphibole, grenat et pyroxène est fréquemment associée aux paragneiss (Clarke, 1977, RG 178).

La migmatisation des paragneiss de la Formation de Nault et l'association grenat+kyanite+biotite indiquent un pic de métamorphisme au faciès supérieur des granulites (Moukhsil *et al.*, 2013). Ces roches ont été fortement déformées et métamorphosées jusqu'au faciès amphibolite à granulite lors de l'orogénie néoprotérozoïque du Grenville.

Le Groupe de Gagnon est démembré, formant des assemblages tectoniques plissés de plusieurs kilomètres de long par plusieurs centaines de mètres de large.

Le cratère de Manicouagan, à l'est du projet, est un impact météoritique daté à 214 ±1Ma (Hodych et Dunning, 1992). Plusieurs lithologies (laves et brèches d'impact) associées à l'impact affleurent sur l'île René Levasseur.

Géologie locale

Les formations de Duley, Wabush et Nault, du Groupe de Gagnon affleurent dans les portions nord et sud du projet alors que les unités du Complexe de Ulamen sont observées sur l'ensemble du projet (**plan 1**). Le métamorphisme est élevé et varie du faciès amphibolite inférieur au faciès granulite. L'orientation générale des structures est sud-ouest à nord-est avec de nombreuses structures de plissement.

Les gneiss gris tonalitiques du Complexe de Ulamen sont les plus représentés et couvrent 60 % de la surface du projet. Ces gneiss quartzofeldspathiques sont de composition variable : à biotite, à hornblende, localement à clinopyroxène mais partagent tous une teinte grisâtre et une texture granoblastique. Les gneiss sont affectés par la fusion partielle et le mobilisat représente de 10 à 20 % du volume. Le Complexe de Ulamen est injecté par des niveaux de gabbro gneissique d'épaisseur décamétrique. Dans la partie orientale du projet, les niveaux de gabbro du Complexe de Ulamen forment de petites collines orientées plein nord.

La Formation de Duley est présente sur des crêtes d'affleurements blancs constitués de marbre moyen à grossier avec des intercalations boudinées décimétriques de quartzite aphanitique blanc. Le marbre présente souvent une patine chamois. Des phases calco-silicatées sont fréquemment observées à proximité du contact avec le paragneiss ou la formation de fer.

La Formation de Wabush est généralement composée d'une formation de fer rubanée à quartz et magnétite, intercalée entre les bancs épais de marbre et les paragneiss graphiteux. Dans la partie est de l'antiforme, la formation de fer n'est épaisse que de quelques mètres contre plusieurs dizaines de mètres dans le secteur ouest.

La Formation de Nault affleure rarement. Elle est majoritairement constituée de paragneiss et de métatexites d'origine sédimentaire. Le paragneiss à granulométrie moyenne à fine est composé de quartz, de feldspath, de biotite ou de phlogopite (15 à 20%) et de grenat (1 à 5%) et parfois de kyanite et de graphite. La teneur en graphite est variable, de trace à plus de 25 % en fines paillettes. Des traces de roscoelite sont observées à proximité des zones minéralisées en graphite. Le paragneiss présente souvent des traces de fusion partielle, le mobilisat peut représenter jusqu'à 20 % de l'affleurement. La lithologie est alors décrite comme une métatexite dont le mobilisat boudiné est composé majoritairement de quartz grossier et en plus faible proportion, de feldspath, biotite, grenat et kyanite.

Une lithologie mafique à amphibole, pyroxène et grenat est associée aux paragneiss. Les affleurements se présentent sous forme de bandes plurimétriques à décimétriques à grains moyens de quartz, amphibole, clinopyroxène et grenat. Les grenats forment parfois plus de 30 % du volume de la roche. L'abondance de grenat pourrait aussi souligner un épisode de métasomatisme antérieur au métamorphisme.

Les levés géologiques effectués par Focus ont permis d'observer dans le secteur de l'indice Manicouagan Ouest la même séquence stratigraphique régionale que celle décrite par Moukhsil *et al.* (2013). Les données structurales observées sur les deux flancs du pli régional confirment la géométrie

d'antiforme avec cependant la séquence stratigraphique qui rajeunit vers le centre du pli. Ces observations ont permis d'interpréter une structure complexe d'antiforme synclinal dont le plan axial est orienté N035. L'indice Manicouagan Ouest est situé sur le flanc est du pli.

Minéralisations régionales

Graphite

La Formation de Nault du Groupe de Gagnon est connue pour son potentiel en minéralisations graphitiques, le meilleur exemple étant le gisement du Lac Knife dans le secteur de Fermont, qui appartient à Focus Graphite. Ce gisement contient 9,6 millions de tonnes de ressources mesurées et indiquées à une teneur de 14,77 % Cg (carbone graphitique) et 3 millions de tonnes de ressources présumées à une teneur de 13,25 % Cg (NI 43-101, Met-Chem, 2014).

Le gisement de graphite du Lac Guéret est situé à une dizaine de kilomètres au sud de l'indice Manicouagan Ouest. Ce gisement contient 65,7 millions de tonnes à 17,19 % Cg de ressources mesurées et indiquées et 17,7 millions de tonnes à 17,24 % Cg de ressources présumées (Mason Graphite, communiqué de presse, décembre 2014).

Dans le secteur du présent rapport, de nombreux indices de graphite cristallins ont été découverts dans les années 2000 conjointement par SOQUEM Inc. et Quinto Technology Inc. en collaboration avec le Fond Régional d'Exploration Minière de la Côte-Nord (**plan 1**).

Le graphite contenu dans les paragneiss et les schistes à quartz-biotite serait dérivé de sédiments carbonés (matière organique) associés à un bassin sédimentaire. Le métamorphisme aurait réduit et recristallisé la matière carbonée en paillettes de graphite. Les minéralisations graphiteuses se caractérisent par une teneur élevée (supérieure à 15 % Cg dans les zones riches), des puissances métriques à décamétriques souvent plissées, ce qui accroît l'épaisseur des zones minéralisées. Le graphite est majoritairement fin, mais une bonne proportion est aussi constituée de larges paillettes de 0,2 mm jusqu'à plusieurs millimètres.

Le graphite a subi un épisode tardif de remobilisation/recristallisation comme l'atteste la présence de veines et veinules de paillettes grossières de graphite dépassant les 5 millimètres de diamètre.

Autres substances

Immédiatement au sud-est du projet, deux gîtes associés à des formations de fer au faciès des oxydes de la Formation de Wabush, ont été découverts à la fin des années 50 par la compagnie Québec Cartier. Ces dépôts du lac Iron et du lac Écho totalisent 110 millions de tonnes courtes (non 43-101).

Travaux connexes 2014, secteur du réservoir Manicouagan

Les travaux d'exploration 2014 dans le secteur du réservoir Manicouagan se sont déroulés du mois de juin au mois de septembre. Ils comprennent des travaux de levé géologique et de prospection sur le projet Lac Tétépisca (ce rapport), des travaux de coupe de ligne et de levés géophysiques au sol sur les projets Lac Tétépisca (Boivin, 2014a) et Lac Tétépisca Nord (Boivin, 2014b, GM 68512), des travaux de forage d'exploration sur le corridor de l'indice Manicouagan Ouest du projet Lac Tétépisca ainsi que des travaux de tranchées sur le projet Lac Tétépisca Nord. Les travaux de forage et de tranchée feront l'objet de rapports distincts.

Coupe de ligne et géophysique au sol

Afin de préciser la position des conducteurs géophysiques avant les forages, un levé magnétique et électromagnétique au sol a été réalisé sur le flanc est et dans le nez du pli régional. Ces levés au sol ont fait l'objet d'un rapport séparé (Boivin, 2014a). Les paragraphes suivants résument les points pertinents.

Deux grilles ont été coupées de façon à épouser la forme du pli. La grille est est constituée de 34 lignes de 750 m de long, espacées de 100 m et orientées N120. La grille sud est constituée de 14 lignes de 1000 m de long, espacées de 100 m et orientées N030. Les travaux de géophysique comprennent un levé magnétique (47,15 km linéaires) à l'aide d'un magnétomètre GSM-19W, les enregistrements étant positionnés au GPS, et un levé électromagnétique dans le domaine temps avec le dispositif IMAGEM (38,5 km linéaires). Le dispositif IMAGEM est un appareil multicanaux (25 on-time et 85 off-time) opéré par deux personnes et capable d'enregistrements en continu. Ce système a une haute résolution spatiale et une forte sensibilité, étant portatif, la pénétration est faible. Sa résolution dans des conditions idéales est estimée à 10 m.

Plus de 425 anomalies EM ont été interprétées, définissant sur la grille est notamment une bande conductrice de 100 à 200 m de large continue sur 1800 m et orientée N030 sur le flanc est de la structure antiforme synclinale (**figure 3**). Cette bande a déjà été échantillonnée localement et définie partiellement au Beep-Mat (Lafrance et Mathieu, 2015), elle constitue la cible des forages d'exploration. Les conducteurs de la grille sud semblent avoir une géométrie plus complexe.

Forage d'exploration

Seize (16) forages d'exploration totalisant 1875 m ont été réalisés le long du conducteur associé à l'indice Manicouagan Ouest (Figure 3). La description détaillée de ces travaux sera présentée dans un rapport distinct. Ces forages ont permis de délimiter une zone minéralisée orientée N035 de 600 m de long dont l'épaisseur varie de 95 à 110 mètres avec une plongée de 50 degrés vers le sud-est. La zone minéralisée est ouverte au nord-est comme au sud-ouest.

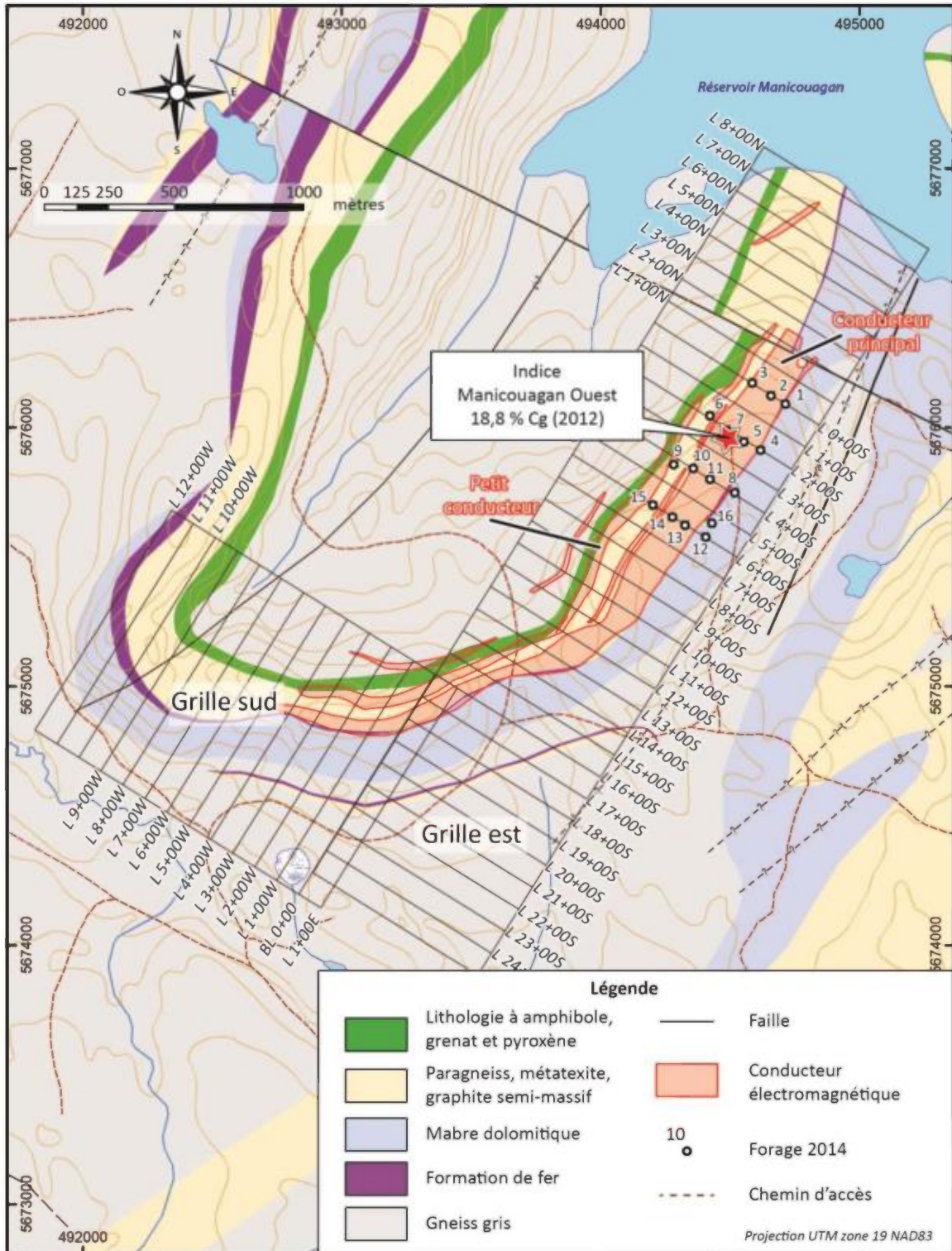


Figure 3: Carte de localisation des grilles géophysiques et des conducteurs électromagnétiques interprétés à partir du levé IMAGEM.

Levé géologique et prospection 2014, projet Lac Tétépisca

Description des travaux

En 2014, l'essentiel des efforts a été porté sur la cartographie et l'échantillonnage de la portion nord du flanc ouest de l'antiforme qui est localisé dans le nord du bloc de claims (**plan 1**). Sept journées de traverses espacées de 100 à 200 m ont été effectuées entre le 23 et le 31 juillet 2014 dans le secteur flanc ouest et dans le secteur bande ouest (**plan 2**).

Une journée (25 septembre 2014) a aussi été consacrée au suivi au sol du petit conducteur électromagnétique défini par le levé IMAGEM dans le secteur de l'indice Manicouagan Ouest (**figure 3**). Des observations géologiques et la prise d'un échantillon ont aussi été réalisées dans le secteur du camp Lac de l'Éventail (**plan 1**).

La construction et la gestion du camp d'exploration temporaire du lac de l'Éventail (nourriture, cuisinier, salubrité, diesel, propane, etc.) étaient sous la supervision d'IOS Services Géoscientifiques de Chicoutimi. La gestion du campement pendant les travaux de prospection a été assurée par Robert Gallant et Benoit Bélanger (homme de camp) ainsi que Danielle Poulin et Mélanie Aubin (cuisinière).

Le levé géologique et la prospection ont été supervisés par Benoit Lafrance, géologue et ont été réalisés par une équipe composée de Guillaume Mathieu, chargé de projet et Sandra Lalancette ingénieure junior de Focus Graphite et d'Émile Bouchard, assistant-géologue d'IOS. Cent-douze (112) stations ont été décrites, incluant 64 affleurements, 5 blocs et 43 enregistrements géophysiques au Beep Mat (**annexe 2**). Il y a peu d'affleurements dans le secteur et la grande majorité des affleurements a été découverte grâce au Beep Mat et sont donc soit conducteurs, soit magnétiques ou encore les deux à la fois.

Échantillonnage

Les affleurements et les blocs sont systématiquement échantillonnés lorsque des paillettes de graphite sont visibles. Il s'agit principalement de paragneiss minéralisé, mais également de formation de fer et de graphite en veine. L'échantillon est séparé en deux sur le terrain, une partie est envoyée à l'analyse, l'autre est conservée comme témoin. Comme il s'agit d'échantillons choisis, les résultats d'analyses ne doivent pas être considérés comme la teneur moyenne de la minéralisation.

Vingt-deux (22) échantillons ont été prélevés et envoyés aux laboratoires d'ALS Minerals à Val-d'Or et Vancouver pour être analysés pour le carbone graphitique (code ALS : C-IR18) et 48 éléments traces (code ALS : ME-MS61). Trois échantillons de référence (deux blancs et un standard) ont été insérés dans la séquence d'échantillonnage (**annexe 3**).

Deux échantillons de la formation de fer et un échantillon de la roche métasomatique ont également été prélevés pour une analyse lithogéochimique complète (code ALS : CCP-PKG01, **annexe 4**).

Les certificats d'analyses sont disponibles à l'**annexe 5** pour le carbone graphitique et les éléments traces et à l'**annexe 6** pour les analyses lithogéochimiques.

Protocoles analytiques et contrôle de qualité

Le dosage du carbone graphitique (code ALS : C-IR18; ALS Geochemistry, 2013) est effectué sur un échantillon représentatif de 0,1 à 0,2 g. Après une digestion ménagée à l'acide chlorhydrique pour enlever le carbone inorganique, l'échantillon est passé dans une fournaise LECO à palier qui combine une combustion directe à une absorption infrarouge. Le premier palier à 425 °C permet d'éliminer le carbone organique. Le second palier de haute température (supérieur à 1200 °C) dégage le carbone graphitique sous forme de CO₂, dégagement mesuré par l'absorption infrarouge.

Le dosage des éléments traces et du soufre est réalisé par une combinaison d'ICP-AES et ICP-MS précédée par une digestion aux quatre acides (perchlorique, nitrique, hydrofluorique et hydrochlorique) sur un échantillon représentatif de 0,25 g (48 éléments, code ALS : ME-MS61).

La caractérisation complète (CCP-PKG01) combine des méthodes ICP-AES et ICP-MS pour les éléments majeurs et traces (codes ALS : ME-ICP06 et ME-MS81) en plus d'analyser le carbone total et le soufre total par fournaise LECO (code ALS : ME-IR08). La préparation est optimisée pour les différents éléments et inclus une attaque quatre acides pour les métaux de base (code ALS : ME-4ACD81), une fusion au borate de lithium pour les minéraux résistifs (code ALS : ME-MS81) ou une digestion par aqua regia pour les éléments plus volatils (code ALS : ME-MS42).

Deux échantillons de quartz purs et un échantillon du standard CMRI12 fournis par IOS ont été insérés parmi la séquence d'échantillons analysés. Le standard a été fabriqué en interne par IOS à partir d'échantillons homogénéisés de paragneiss à graphite du gisement du Lac Knife. Plusieurs centaines d'analyses du standard CMRI12 réalisées par les principaux laboratoires nord-américains sont disponibles auprès d'IOS.

Les blancs proviennent d'une veine de quartz pur du Lac Bouchette au Lac-Saint-Jean. L'insertion de ce matériau certifié stérile permet de détecter les problèmes de contamination, d'effet mémoire et d'erreur de numérotation des échantillons.

Aucun matériel de référence, mis à part les matériaux de contrôle du laboratoire, n'a été inséré dans la séquence des trois échantillons de lithogéochimie.

Aucun problème analytique n'a été détecté.

Résultats du levé géologique et de la prospection

Géologie

Effectuer le levé géologique des secteurs flanc ouest et bande ouest n'est pas chose aisée du fait du faible nombre d'affleurements. Les formations métasédimentaires du Groupe de Gagnon ont une épaisseur apparente variant entre 300 et 450 m, dont 100 à 200 m pour la seule Formation de Nault. Tout comme sur le flanc est du pli, quatre composantes du Groupe de Gagnon affleurent sur le flanc ouest. Il s'agit de l'extérieur du pli vers l'intérieur (soit du nord-ouest vers le sud-est) des marbres de la Formation de Duley, de la formation de fer à magnétite de la Formation de Wabush, des métatexites (**figure 4**) et paragneiss de la Formation de Nault et enfin de la lithologie métasomatique. La séquence stratigraphique reconnue confirme donc le rajeunissement des couches vers le centre du pli tel qu'observé en 2013 dans le secteur sud du flanc ouest (Lafrance et Mathieu, 2015). Le flanc ouest a été suivi sur une longueur de 2,7 km (secteur flanc ouest, **plan 2**).

Le flanc ouest est orienté N035 dans sa portion sud et N050 dans sa partie nord. Les horizons lithologiques plongent fortement vers le sud-ouest.

Une seconde bande de métasédiments (bande ouest, **plan 2**) a été suivie sur 3,5 km. Son épaisseur apparente varie entre 100 et 200 m. Elle est largement dominée par la formation de fer à magnétite (**figure 5**). Ce niveau pourrait être interprété soit comme une écaille tectonique soit comme le flanc ouest d'une structure synforme dont la bande de métasédiments « flanc ouest » formerait l'autre flanc (**plan 2**).



Figure 4: Métatexite d'origine sédimentaire, Formation de Nault. Secteur flanc ouest, affleurement 14-GM-232.



Figure 5: Formation de fer rubanée à magnétite. Secteur bande ouest, affleurement 14-GM-212.

Minéralisations

Trois types de minéralisation en graphite ont été observés : disséminée, semi-massive et en veine.

La minéralisation disséminée est constituée de paillettes de graphite dont le diamètre varie de 0,7 à 2 mm. De la pyrrhotite et de la pyrite sont associées au graphite. La proportion de graphite varie de trace à 30 % du volume du paragneiss. Localement des niveaux métriques de formation de fer présentent également une dissémination de paillettes de graphite.

La minéralisation semi-massive est constituée de 15 à 30 % de graphite fin et en paillettes jusqu'à 0,7 mm avec une proportion équivalente de sulfures (pyrite et pyrrhotite), disséminés et en veinules. Les paillettes de graphite mesurent jusqu'à 2 mm de diamètre (**figure 6**).

La minéralisation en veine est visible à proximité ou dans la lithologie métasomatique. Les veines ont une épaisseur de quelques décimètres, sont souvent boudinées et sont constituées de graphite fin avec moins de 5% de pyrrhotite. Au sein des veines, des veinules remobilisées de graphite présentent des paillettes dont la taille est supérieure à 3 mm. La proportion de graphite varie de 5 % à plus de 50 %.



Figure 6: Minéralisation semi-massive (26,9 % Cg). Échantillon 531416, affleurement 14-GM-266.

Résultats d'analyses

Les meilleures teneurs en carbone graphitique (Cg) des échantillons choisis (14 affleurements et un bloc) sont présentées au **tableau 1**. Sur les 22 échantillons choisis en affleurement (**annexe 3**), 15 contiennent des teneurs en carbone graphitique (Cg) qui varient de 1,06 % à 54,2 % Cg. Sur ces quinze échantillons, 9 contiennent des teneurs en carbone graphitique (Cg) qui varient de 16 % à 54,2 % Cg. La localisation des échantillons est présentée au **plan 2** pour le secteur bande ouest et à la **figure 7** pour le secteur de l'indice Manicouagan Ouest.

Tableau 1: Liste des meilleures teneurs des échantillons choisis, campagne de prospection 2014, projet Lac Tétépisca

Numéro d'analyse	X (NAD83)	Y (NAD83)	Type	Lith	Localisation	Description	Station	Cg (%)	S (%)	Fe (%)	Zn (%)
531419	494074	5678505	Affleurement	M4	Flanc ouest	Veine de graphite de 20 cm d'épaisseur dans un paragneiss à biotite et grenat	14-GM-276	54,2	0,24	5,96	105
531412	493241	5677247	Affleurement	F1	Flanc ouest	Graphite et pyrite semi-massive fins, veinules de graphite de 2 mm de large, juste au dessus un gossan constitué d'oxyde, de fragments de lithologie métasédimentaires (marbre, paragneiss) et de blocs arrondis issus du till	14-GM-246	36,00	>10.0	18,5	196
531417	493422	5677620	Affleurement	F1	Flanc ouest	Minéralisation semi-massive en graphite, pyrrhotite et quartz fins, paillettes de 0,3 mm et veinules à paillettes 2 mm, veinules sulfures	14-GM-270	35,10	>10.0	18,4	137
531411	493100	5677050	Affleurement	M4	Flanc ouest	Paragneiss fin à 20% de graphite et pyrrhotite, affleurement à 5 m de la bordure ouest du conducteur	14-GM-237	32,00	7,75	22,2	102
531422	492772	5677751	Affleurement	M4	Bande ouest	Conducteur, bloc anguleux probablement sub en place de paragneiss schisteux à graphite, paillettes mm (7%)	14-GM-289	31,10	0,17	5,07	64
531408	492935	5676701	Bloc	M4	Flanc ouest	Bloc subanguleux de 50 par 70 cm de paragneiss fin à 20% de graphite disséminés (0,7 mm) et de veinules de 2 mm de large	14-GM-228	28,80	6,54	22,7	126
531416	493504	5677785	Affleurement	F1	Flanc ouest	Minéralisation semi-massive en graphite (paillettes 0,3 mm) et veinules de pyrrhotite fine	14-GM-266	26,90	6,98	12,45	424
531448	494186	5675748	Affleurement	F2, GP	Petit conducteur	Graphite massif fin à pyrrhotite, très magnétique	14-SL-007	25,30	>10.0	28,7	117
531410	492924	5676782	Affleurement	M4	Flanc ouest	Veine de graphite de 30 cm d'épaisseur dans un niveau de roche métasomatique moyennement grenue à grenat, quartz et hornblende.	14-GM-223	16,00	8,83	12,25	226
531415	493660	5677962	Affleurement	M4	Flanc ouest	Paragneiss fin à biotite, grenat et roscoelite, minéralisé en graphite, pyrrhotite et pyrite à hauteur de 15%	14-GM-262	7,49	8,73	18,1	1000
531406	492876	5676702	Affleurement	M4	Flanc ouest	Paragneiss fin à quartz, minéralisé en pyrrhotite, pyrite et 7% de paillettes de graphite de 0,3 mm	14-GM-221	5,79	>10.0	24,7	535
531449	494276	5675651	Affleurement	M4	Conducteur principal	Paragneiss fin à muscovite (altération biotite) et 1% de paillettes 0.7 à 2 mm de graphite	14-SL-006	5,53	>10.0	22,9	70
531405	492704	5676683	Affleurement	M4	Flanc ouest	Paragneiss fin à moyen, schisteux, à biotite, grenat, graphite et kyanite. Paillettes de graphite concentrées dans des niveaux dm boudinés. Fractures graphiteuses. EM sur 3 m d'épaisseur	14-GM-214	4,24	6,83	17,35	445
531413	493361	5677398	Affleurement	M4	Flanc ouest	Paragneiss rouillé à biotite, grenat et graphite (5% et paillettes 1 mm)	14-GM-250	3,86	8,89	16,35	1100
531421	492984	5678071	Affleurement	M4	Bande ouest	Paragneiss fin à moyen, schisteux, avec trace de graphite dans les plans de schistosité (paillettes 2 mm), conducteur sur 5 m d'épaisseur	14-GM-285	1,06	0,67	23,2	195

Interprétation et potentiel

Flanc ouest

Le flanc ouest avait été exploré dans sa portion sud en 2013 (Lafrance et Mathieu, 2015). L'interprétation inclut les résultats de 2013. L'épaisseur des paragneiss et migmatite de la Formation de Nault varie entre 100 et 200 m sur le flanc ouest.

Plusieurs zones conductrices et des conducteurs ponctuels ont été découverts le long du flanc ouest à l'aide du Beep Mat. Une station est décrite lors de l'entrée dans le conducteur et une autre lors de la sortie de la zone conductrice, entre les deux stations, le signal est continu et un échantillon est prélevé dans la mesure du possible. Quatre de ces zones semblent particulièrement prospectives du fait de leur continuité. Les quatre zones, identifiées 1, 2, 3 et 4 sur le **plan 2**, sont alignées selon l'orientation des unités stratigraphiques et appartiennent probablement à un même horizon graphiteux. Les épaisseurs des zones conductrices semblent variables, mais il ne faut pas oublier que la pénétration du Beep Mat ne dépassant pas deux mètres et donc que la perte du signal électromagnétique ne signifie pas forcément la fin de la zone minéralisée.

La zone 1 s'étend sur une longueur de 860 m avec une largeur qui varie de 20 à 120 m. Elle a été cartographiée à l'aide de 16 enregistrements du Beep Mat et d'un affleurement et englobe trois affleurements de graphite semi-massif à teneur élevée (26,9 %, 35,1 % et 36 % Cg) et deux affleurements de paragneiss à minéralisation disséminée (3,86 % et 7,49 % Cg). Trois mesures de la gneissosité relevées sur les affleurements minéralisés varient entre N045 et N056, les paillettes de graphite sont alignées selon la foliation de même que l'allongement longitudinal de la zone conductrice, ce qui laisse penser que la minéralisation est intraformationnelle et a une orientation similaire à la stratigraphie du flanc ouest. Cette zone est située en grande partie sur un terrain plat et constitue donc une cible idéale pour l'excavation d'une tranchée permettant un échantillonnage en continu. La haute teneur en carbone graphitique des échantillons ainsi que la grande continuité latérale et l'épaisseur significative du conducteur délimité avec le Beep Mat en font une zone à fort potentiel.

La zone 2 est la plus réduite, elle ne mesure que 50 m de long par 35 m de large. Elle est délimitée par 6 enregistrements du Beep Mat autour d'un affleurement de paragneiss contenant 20 % de graphite (32 % Cg). Bien que de dimension réduite selon le levé avec le Beep Mat, cette zone contient un échantillon de haute teneur qui est semblable aux teneurs de la zone 1.

La zone 3 est un conducteur d'une vingtaine de mètres de large délimité par 5 mesures géophysiques et un affleurement de paragneiss à minéralisation disséminée (5,79 % Cg) ainsi qu'une veine de graphite de 30 cm d'épaisseur (16 % Cg). Le conducteur a été suivi longitudinalement sur 185 mètres.

La zone 4 a été découverte en 2013 (Lafrance et Mathieu, 2015), elle s'étend sur une longueur de 375 m par 80 m de large et englobe 4 affleurements de paragneiss silicifié ou de quartzite impur à minéralisation disséminée. Les teneurs en carbone graphitique sont inférieures à celles des trois zones décrites ci-dessus, elles varient de 1,52 à 7,68 % Cg.

Une veine de graphite d'une épaisseur de 20 cm a été découverte à l'extrême nord du flanc ouest. L'échantillon 531419 prélevé dans la veine a une teneur de 54,2 % Cg.

Bande ouest

La bande ouest a été explorée dans sa portion nord en 2013 (Mathieu et Lafrance, 2014). L'épaisseur apparente des paragneiss et migmatite de la Formation de Nault est plus faible que sur le flanc ouest, elle varie entre 20 et 60 m et est inexistante dans la portion nord. En revanche la formation de fer à magnétite de la Formation de Wabush est plus développée et atteint des épaisseurs de plus de 100 m dans sa partie sud. Quelques conducteurs ponctuels ou de moins de 5 m d'épaisseur ont été échantillonnés. Il s'agit d'échantillons de paragneiss schisteux à biotite, muscovite et paillettes de graphite de 1 à 2 mm.

Deux zones d'intérêt ont été observées (zones 5 et 6, **plan 2**). La zone 5 est située sur le flanc ouest d'une colline de formation de fer. Un niveau conducteur de 5 m d'épaisseur a été échantillonné, il s'agit d'un niveau de paragneiss interlité avec des bandes plus épaisses de formation de fer à magnétite. La teneur de l'échantillon est de 31,1 % Cg.

La zone 6 est constituée d'un conducteur de quelques mètres d'épaisseur qui a été suivi sur 100 m environ. Un unique échantillon de paragneiss à dissémination de graphite a été prélevé et possède une teneur de 1,06 % Cg.

Secteur de l'Indice Manicouagan Ouest

Une journée de travail a été consacrée au secteur des forages autour de l'indice Manicouagan Ouest sur le flanc est du pli. Cette traverse avait pour but de faire le suivi au sol et d'échantillonner en surface un petit conducteur cartographié par le dispositif IMAGEM en juillet 2014 et intercepté en forage. Le conducteur n'a été détecté au Beep Mat qu'à un seul endroit (14-SL-007, **figure 7**) et échantillonné (analyse 531448). La teneur en carbone graphitique de l'échantillon choisi est de 25,3 % Cg. L'épaisseur de dépôts meubles est probablement trop importante dans ce secteur pour la puissance de pénétration de l'appareil.

Secteur du camp du lac de l'Éventail

Un échantillon (#531447) de métatexite sédimentaire a été prélevé sur l'affleurement (14-SL-008) situé au milieu du campement (**plan 1**) sans résultat probant.

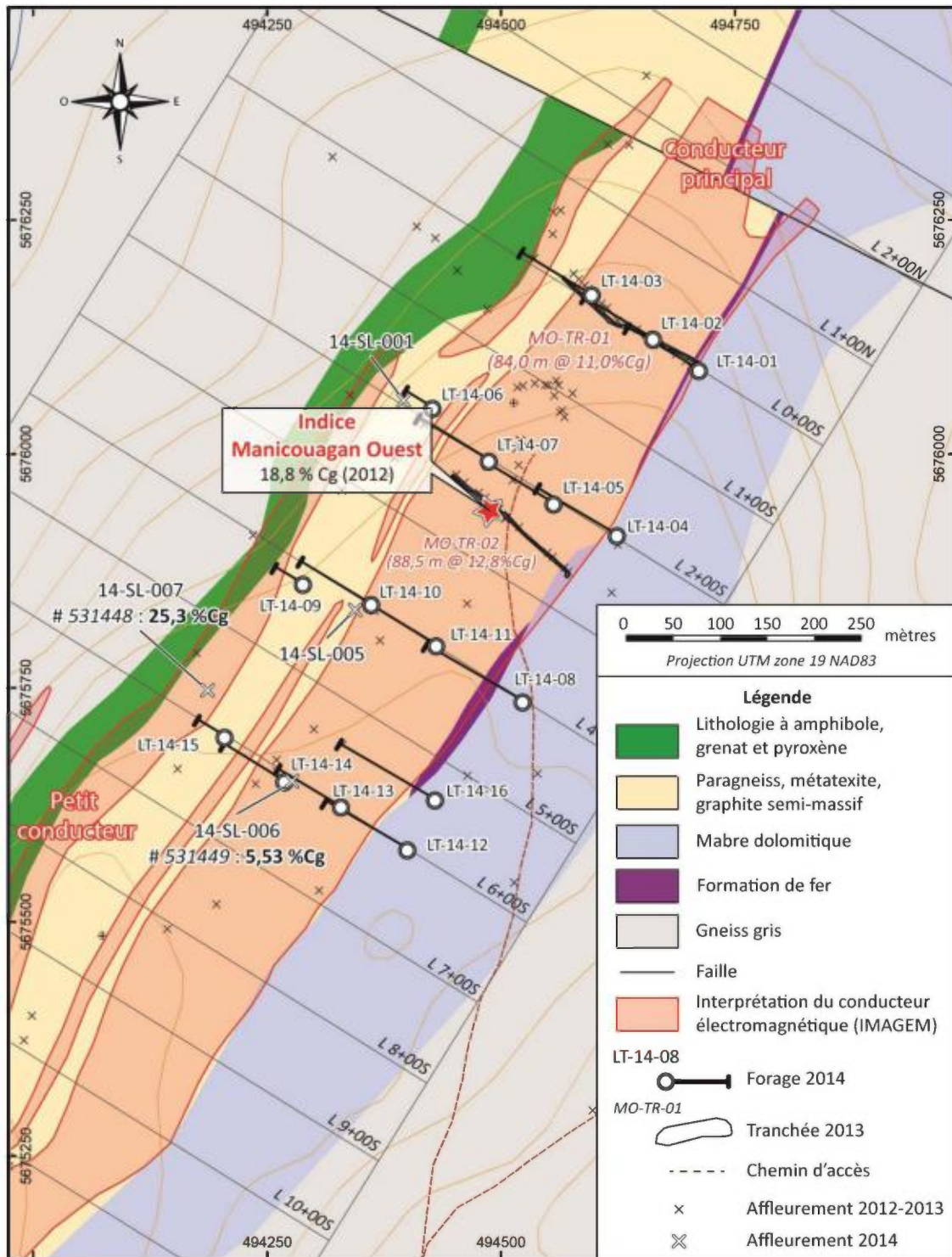


Figure 7: Carte de localisation des 4 affleurements découverts en 2014 dans le secteur de l'indice Manicouagan Ouest.

Conclusion et recommandations

Les sept jours de travaux dans les secteurs du flanc ouest et de la bande ouest ont permis de mieux définir la stratigraphie et de découvrir plusieurs conducteurs et affleurements minéralisés en graphite. La même séquence stratigraphique, avec rajeunissement des unités vers le cœur du pli, sont maintenant identifiées sur les deux flancs du pli qui possède une géométrie d'antiforme synclinal.

Trois types de minéralisations ont été observées (disséminée, semi-massive et en veine), toutes associées aux paragneiss de la Formation de Nault.

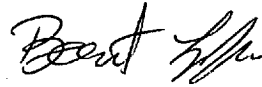
Plusieurs échantillons de hautes teneurs en carbone graphitique (de 16 % à 54,2 % Cg) ont été prélevés dans le secteur bande ouest et plus particulièrement dans le secteur flanc ouest, où 6 de ces échantillons sont observés sur une distance de 2 km. Plusieurs zones conductrices définies par un levé électromagnétique avec l'aide d'un Beep Mat sont associées à ces échantillons. Une zone conductrice de 860 m de longueur par 20 à 120 m de largeur, avec des teneurs de 3,86 % à 36 % Cg a été identifiée au sein du flanc ouest et est particulièrement intéressante en terme de potentiel.

Il est recommandé d'effectuer des travaux de tranchée transversalement à cette zone conductrice à fort potentiel dans son secteur le plus large là où il y a peu de dépôts meubles (signal Beep Mat positif), ceci dans le but d'observer le type ainsi que l'épaisseur de la minéralisation graphiteuse.

Puisque l'utilisation du Beep Mat est limitée dû à l'épaisseur des dépôts meubles, il est aussi recommandé d'effectuer un levé magnétique et électromagnétique au sol de type IMAGEM ou PhiSpy couvrant environ quatre kilomètres du flanc ouest. Ceci permettra de voir s'il existe une continuité entre les quatre conducteurs identifiés jusqu'à maintenant et de connaître leur épaisseur.

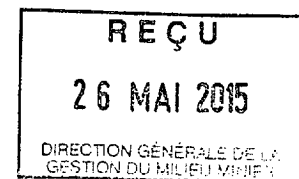


Guillaume Mathieu
Ingénieur junior, OIQ 5020476



Benoit Lafrance, géo, Ph.D.
Géologue, OGQ # 662

15 01 007



Références bibliographiques

ALS Geochemistry, 2013, Schedule of Services & Fees, 2014 CAD.

BAGRIANSKI, A., 2003, Report on a Helicopter Borne Time Domain Electromagnetic Geophysical Survey, Blocks A and B, Reservoir Manicouagan Area, GM 60497.

BOIVIN, M., 2014a, IMAGEM Electromagnetic and GPS-Positioned Ground Magnetic Surveys, LAC TÉTÉPISCA PROJECT, Manicouagan Reservoir Area, Québec, Canada, Logistic and interpretation report.

BOIVIN, M., 2014b, IMAGEM Electromagnetic and GPS-Positioned Ground Magnetic Surveys, LAC TÉTÉPISCA NORD PROJECT, Manicouagan Reservoir Area, Québec, Canada, Logistic and interpretation report, GM 68512.

CLARKE, P.J., 1977, Région de Gagnon, RG 178.

D'AMOUR, I. – INTISSAR, R., 2012, Levé Magnétique Aéroporté dans le Secteur de Manic-Outardes, Province de Grenville, DP 2012-03.

FERREIRA, E.C., 1962a, Report on Geological, Drilling and Dip Needle Survey, area 24B, ECHO LAKE, Québec, GM 12609.

FERREIRA, E.C., 1962b, Report on Geological, Drilling and Dip Needle Survey, area 24A, ECHO LAKE, Québec, GM 13176.

FRANCONI, A. – LAURIN, A.F. – SHARMA, K.N.M., 1971, Géologie de la Région des Rivières Bersimis, Papinachois, aux Outardes, Manicouagan, Sainte-Marguerite et Moisie (Comté de Saguenay), Projet Grenville 1968-1969, DP 127.

FRANCONI, A. – SHARMA, K.N.M. - LAURIN, A.F., 1975, Région des Rivières Betsiamites (Bersimis) et Moisie, (Grenville 1968-1969), RG 162.

HODYCH, J.P. – DUNNING, G.R., 1992, Did the Manicouagan impact trigger end-of-Triassic mass extinction? *Geology*: volume 20, pages 51-54.

HURTUBISE, E., 2003, Campagne de Vérification de Terrain d'Anomalies Électromagnétiques Aéroportées, Projet Lac Guéret Nord, GM 60531.

JORDAN, S.L. – INDARES, A. – DUNNING, G., 2006, Partial melting of metapelites in the Gagnon terrane below the high-pressure belt in the Manicouagan area (Grenville Province): pressure-temperature and U-Pb age constrains and implications. *Canadian Journal of Earth Science*; volume 43, pages 1309-1329.

LAFRANCE, B. – MATHIEU, G., 2015, Travaux d'Exploration 2013, Projet Lac Tétépisca, Réservoir Manicouagan, Québec.

LYONS, E.M., 2005a, Report on Trenching & Drilling 2003-04 on the GR & GC Graphite Zones, Technical Report, Lac Guéret Property, GM 61963.

LYONS, E.M., 2005b, Report on Geological Mapping 2004-05, Block B, Technical Report, Lac Guéret Property, GM 61964.

LYONS, E.M. – SAUCIER, G. – MAGNAN, M., 2012, Technical Report on the Lac Guéret Graphite Project, NI 43-101 Report.

LYONS, E.M. – TRUDEAU, Y., 2002, Technical Report, Phase 1 – Geology & Sampling on the Lac Guéret Property, Manicouagan, GM 60485.

MASON GRAPHITE INC., 2014, Mason Graphite Reports 31% Increase in Measured and Indicated Mineral Resources to 65.7 Million Tonnes at 17.2% Cg Using 5% COG - communiqué de presse du 15 décembre 2014.

MATHIEU, G. – LAFRANCE, B., 2013, Rapport des Travaux de Prospection, Projet du Lac Tétépisca, SNRC 22N03, GM 67924.

MATHIEU, G. – LAFRANCE, B., 2014, Rapport des Travaux de Prospection 2013, Projet Lac Tétépisca Nord, GM 68323.

Ministère des ressources naturelles du Canada, fond topographique Geogratis (Canvec), <http://ftp2.cits.rncan.gc.ca/pub/canvec/>

Ministère de l'énergie et ressources naturelles du Québec, gestion des titres miniers (Gestim), https://gestim.mines.gouv.qc.ca/MRN_GestimP_Presentation/ODM02201_menu_base.aspx

Ministère de l'énergie et ressources naturelles du Québec, système d'information géominière du Québec (Sigeom), http://sigeom.mrn.gouv.qc.ca/signet/classes/11102_indexAccueil?l=f

MOUGE, P. – ASTIC, T., 2013, Levé hélicopté magnétique et Électromagnétique Domaine Temps (TDEM) sur la propriété du Lac Tétépisca Région du Lac Manicouagan, au Québec, GM 67551.

MOUKHSIL, A. – SOLGADI, F., 2011a, Géologie Lac Guinécourt, CG-22K14-2011-01.

MOUKHSIL, A. – SOLGADI, F., 2011b, Géologie Lac Tétépisca, CG-22N03-2011-01.

MOUKHSIL, A. – SOLGADI, F. – CLARK, T. – BLOUIN, S. – INDARES, A. – DAVIS, D., 2013, Géologie du nord-ouest de la région du barrage Daniel-Johnson (Manic 5), Côte-Nord, RG 2013-01.

MURTAUGH, J.G., 1965, Géologie de la Région du Lac Tétépisca, Comté de Saguenay, RP 536.

RIOUX, G. – ROY, I. – TRUDEAU, Y., 2004, Travaux d'Exploration 2003, Cartographie et Coupe de Lignes, Projet du Lac Guéret – Bloc Sud (1339), GM 60464.

ROY, I., 2004, Rapport sur les Travaux d'Exploration 2004, Secteur du Bloc C, Projet Lac Guéret Nord, GM 61184.

ROY, I. – PARE, P., 2004, Travaux d'Exploration 2003, Projet du Lac Guéret Sud (1339), Région du Réservoir Manicouagan, GM 60839.

Secrétariat aux affaires autochtones du Québec, Entente de principe d'ordre général entre les Premières Nations de Mamuitin et de Nutaskuan et le Gouvernement du Québec et le Gouvernement du Canada, <http://www.versuntraite.com/documentation/publications/EntentePrincipeInnus.pdf>

ANNEXES

Annexe 1: Liste des cellules désignées sur carte, projet Lac Tétépisca (novembre 2014)

Numéro du titre	Date d'émission	Date d'expiration	Superficie (ha)	Feuillet SNRC
2309130	2011-08-22	2015-08-21	53,98	22N03
2309131	2011-08-22	2015-08-21	53,98	22N03
2309132	2011-08-22	2015-08-21	53,97	22N03
2309133	2011-08-22	2015-08-21	53,97	22N03
2309134	2011-08-22	2015-08-21	53,96	22N03
2309135	2011-08-22	2015-08-21	53,95	22N03
2309136	2011-08-22	2015-08-21	53,95	22N03
2309137	2011-08-22	2015-08-21	53,95	22N03
2309138	2011-08-22	2015-08-21	53,95	22N03
2309139	2011-08-22	2015-08-21	53,94	22N03
2309140	2011-08-22	2015-08-21	53,94	22N03
2309141	2011-08-22	2015-08-21	53,94	22N03
2309142	2011-08-22	2015-08-21	53,94	22N03
2309143	2011-08-22	2015-08-21	53,93	22N03
2309144	2011-08-22	2015-08-21	53,93	22N03
2309145	2011-08-22	2015-08-21	53,93	22N03
2309146	2011-08-22	2015-08-21	53,92	22N03
2309147	2011-08-22	2015-08-21	53,92	22N03
2309365	2011-08-23	2015-08-22	54,23	22K14
2309397	2011-08-23	2015-08-22	54,07	22N03
2309398	2011-08-23	2015-08-22	54,07	22N03
2309399	2011-08-23	2015-08-22	54,07	22N03
2309400	2011-08-23	2015-08-22	54,06	22N03
2309401	2011-08-23	2015-08-22	54,06	22N03
2309402	2011-08-23	2015-08-22	54,05	22N03
2309403	2011-08-23	2015-08-22	54,04	22N03
2309404	2011-08-23	2015-08-22	54,03	22N03
2309405	2011-08-23	2015-08-22	54,02	22N03
2309406	2011-08-23	2015-08-22	54,01	22N03
2309407	2011-08-23	2015-08-22	54,01	22N03
2309408	2011-08-23	2015-08-22	54,01	22N03
2309409	2011-08-23	2015-08-22	54,00	22N03
2309410	2011-08-23	2015-08-22	54,00	22N03
2309411	2011-08-23	2015-08-22	54,00	22N03
2309412	2011-08-23	2015-08-22	54,00	22N03
2309413	2011-08-23	2015-08-22	54,00	22N03
2309414	2011-08-23	2015-08-22	54,00	22N03
2309415	2011-08-23	2015-08-22	53,99	22N03

Numéro du titre	Date d'émission	Date d'expiration	Superficie (ha)	Feuillet SNRC
2309416	2011-08-23	2015-08-22	53,99	22N03
2309417	2011-08-23	2015-08-22	53,99	22N03
2309418	2011-08-23	2015-08-22	53,99	22N03
2309419	2011-08-23	2015-08-22	53,99	22N03
2309420	2011-08-23	2015-08-22	53,98	22N03
2309421	2011-08-23	2015-08-22	53,98	22N03
2309422	2011-08-23	2015-08-22	53,98	22N03
2309423	2011-08-23	2015-08-22	53,98	22N03
2309424	2011-08-23	2015-08-22	53,98	22N03
2309425	2011-08-23	2015-08-22	53,97	22N03
2309426	2011-08-23	2015-08-22	53,97	22N03
2309427	2011-08-23	2015-08-22	53,97	22N03
2309428	2011-08-23	2015-08-22	53,97	22N03
2309429	2011-08-23	2015-08-22	53,96	22N03
2309430	2011-08-23	2015-08-22	53,96	22N03
2309431	2011-08-23	2015-08-22	53,96	22N03
2309432	2011-08-23	2015-08-22	53,95	22N03
2309433	2011-08-23	2015-08-22	53,95	22N03
2309434	2011-08-23	2015-08-22	53,95	22N03
2309435	2011-08-23	2015-08-22	53,94	22N03
2309436	2011-08-23	2015-08-22	53,94	22N03
2309872	2011-08-24	2015-08-23	53,93	22N03
2309873	2011-08-24	2015-08-23	53,93	22N03
2309874	2011-08-24	2015-08-23	53,92	22N03
2309875	2011-08-24	2015-08-23	53,92	22N03
2309876	2011-08-24	2015-08-23	53,92	22N03
2309877	2011-08-24	2015-08-23	53,91	22N03
2309878	2011-08-24	2015-08-23	53,91	22N03
2309879	2011-08-24	2015-08-23	53,91	22N03
2309880	2011-08-24	2015-08-23	53,91	22N03
2371841	2012-12-03	2016-12-02	53,88	22N06
2371842	2012-12-03	2016-12-02	53,88	22N06
2371843	2012-12-03	2016-12-02	53,88	22N06
2371852	2012-12-03	2016-12-02	53,87	22N06
2371853	2012-12-03	2016-12-02	53,87	22N06
2371854	2012-12-03	2016-12-02	53,87	22N06
2393505	2013-10-31	2015-10-30	53,97	22N03
2393506	2013-10-31	2015-10-30	53,97	22N03

Numéro du titre	Date d'émission	Date d'expiration	Superficie (ha)	Feuillet SNRC
2393507	2013-10-31	2015-10-30	53,96	22N03
2393508	2013-10-31	2015-10-30	53,96	22N03
2393509	2013-10-31	2015-10-30	53,95	22N03
2393510	2013-10-31	2015-10-30	53,95	22N03
2393511	2013-10-31	2015-10-30	53,94	22N03
2393512	2013-10-31	2015-10-30	53,94	22N03
2393803	2013-11-05	2015-11-04	53,93	22N03
2393804	2013-11-05	2015-11-04	53,92	22N03
2397776	2014-01-20	2016-01-19	53,92	22N03
2397777	2014-01-20	2016-01-19	53,92	22N03
2397778	2014-01-20	2016-01-19	53,91	22N03
2397779	2014-01-20	2016-01-19	53,91	22N03
2397780	2014-01-20	2016-01-19	53,90	22N03
2397781	2014-01-20	2016-01-19	53,90	22N03
2397782	2014-01-20	2016-01-19	53,89	22N06
2398434	2014-01-30	2016-01-29	53,89	22N06
2398435	2014-01-30	2016-01-29	53,89	22N06
2398436	2014-01-30	2016-01-29	53,89	22N06
2398437	2014-01-30	2016-01-29	53,93	22N03
2398438	2014-01-30	2016-01-29	53,92	22N03
2398439	2014-01-30	2016-01-29	53,91	22N03
2398440	2014-01-30	2016-01-29	53,91	22N03
2398441	2014-01-30	2016-01-29	53,90	22N03
2398442	2014-01-30	2016-01-29	53,90	22N03
2398443	2014-01-30	2016-01-29	53,90	22N03
2398444	2014-01-30	2016-01-29	53,90	22N03
2398445	2014-01-30	2016-01-29	53,90	22N03

Annexe 2: Description des stations de la campagne de prospection 2014, projet Lac Tétépisca.

Projection UTM zone 19, NAD83

Station	X (NAD83)	Y (NAD83)	Zone UTM	Numéro d'analyse	Type	Code lithologique	Haute fréquence (Beep Mat)	Basse fréquence (Beep Mat)	Magnétisme (Beep Mat)
14-GM-202	492799	5676459	19	531401	Bloc	M4, BO, MV, GP	70	40	
14-GM-203	492726	5676468	19	531402	Bloc	I4[GF]MG, CS			980
14-GM-204	492677	5676487	19		Mort-Terrain				400
14-GM-205	492674	5676490	19	531403	Affleurement	S9[GM][MA]MG, PY, GP			5000
14-GM-206	492653	5676488	19		Bloc	S9[GM]MG, QZ			2000
14-GM-207	492220	5676780	19		Affleurement	S9[GG]			800
14-GM-208	492100	5677272	19		Affleurement	M1[RU]HB, BO[IU]I1G, BO			
14-GM-209	492342	5676969	19	531404	Affleurement	S9B[GM]AM, GR, QZ, KN			5000
14-GM-210	492338	5676949	19		Affleurement	S9B[RU][GF][GM]MG, QZ			45000
14-GM-211	492349	5676912	19		Mort-Terrain	MT			300
14-GM-212	492346	5676912	19		Affleurement	S9B[RU][GF][GM]MG, GP	120		150
14-GM-213	492703	5676694	19		Affleurement	S9B[GF]MG			700
14-GM-214	492704	5676683	19	531405	Affleurement	M4[SC][GM][GF]BO, GR, GP, KN	14000	11000	
14-GM-215	492714	5676676	19		Affleurement	S9B[RU][GF][GM]QZ, MG			2000
14-GM-216	492699	5676668	19		Mort-Terrain	MT	100		
14-GM-217	492715	5676670	19		Mort-Terrain	MT	170		
14-GM-218	492770	5676674	19		Bloc	S9B			
14-GM-219	492860	5676683	19		Mort-Terrain	MT	60	60	
14-GM-220	492877	5676689	19		Mort-Terrain	MT	25	25	
14-GM-221	492876	5676702	19	531406	Affleurement	M4[GF]QZ, GP, PO, PY	11000	9000	

Station	Description	Structure	Azimuth	Pendage
14-GM-202	Bloc sub anguleux de 15 par 20 cm de paragneiss à biotite altérée en muscovite et paillettes de graphite (2%)			
14-GM-203	Bloc anguleux de 1,5 par 2 m d'un intrusif à grains fins avec rosettes centimétriques de chrysotile bleuâtre à verdâtre, très magnétique			
14-GM-204	Bordure est de la zone magnétique			
14-GM-205	Formation de fer à grain moyen, magnétite bien visible, trace de pyrite et de graphite			
14-GM-206	Zone magnétique sur 5 m d'épaisseur, signal faiblement magnétique depuis 14-GM-205 intercalé avec des zones faiblement conductrices. Bloc anguleux de formation de fer à quartz et magnétite saccharoïdaux			
14-GM-207	Lithologie à amphibole et magnétite fines saccharoïdales, massive, intrusif mafique ou formation de fer			
14-GM-208	Gneiss rubané à amphibole et biotite, injection de pegmatite rose à biotite	Gneissosité	62	38
14-GM-209	Formation de fer aux oxydes, à grains moyens, grenat, quartz, magnétite, trace de kyanite, peut être hématite spéculaire ou trace de graphite, poches cm de feldspath et grenat (mobilisat). Bordure ouest de la zone magnétique			
14-GM-210	Formation de fer aux oxydes, fine à moyenne, rubanée, magnétite et quartz, Magnétite bleutée bien visible, niveau cm de quartz boudinés	Gneissosité	295	99
14-GM-211	Bordure est de la zone magnétique			
14-GM-212	Formation de fer rubanée à magnétite avec un niveau de 30 cm d'épaisseur minéralisé en graphite (3%) légèrement conducteur	Gneissosité	40	99
14-GM-213	Formation de fer à magnétite fine			
14-GM-214	Paragneiss fin à moyen, schisteux, à biotite, grenat, graphite et kyanite. Paillettes de graphite concentrées dans des niveaux dm boudinés. Fractures graphitiques. EM sur 3 m d'épaisseur	Gneissosité	46	83
14-GM-215	Formation de fer aux oxydes, rubanée à grains fins à moyens de quartz et magnétite			
14-GM-216	Conducteur EM en surface			
14-GM-217	Conducteur EM de 3 m d'épaisseur			
14-GM-218	Bloc anguleux de 3 par 1 m de formation de fer à magnétite			
14-GM-219	Bordure ouest du conducteur, valeurs HF du Beep-Mat varient de 20 à 200 en continuant vers 14-GM-220			
14-GM-220	Bordure est du conducteur			
14-GM-221	Paragneiss fin à quartz, minéralisé en pyrrhotite, pyrite et 7% de paillettes de graphite de 0,3 mm			

Station	X (NAD83)	Y (NAD83)	Zone UTM	Numéro d'analyse	Type	Code lithologique	Haute fréquence (Beep Mat)	Basse fréquence (Beep Mat)	Magnétisme (Beep Mat)
14-GM-222	492918	5676773	19		Mort-Terrain	MT	200	100	
14-GM-223	492924	5676782	19	531410	Affleurement	M4[GM]BO, GR/M4, GP[VN]/M20(M4)/M15[GM]GR, HB	4000	700	
14-GM-224	492834	5676845	19		Mort-Terrain	MT			500
14-GM-225	492821	5676844	19	531407	Affleurement	S9B[GM][MA]QZ, MG, GP	300		3000
14-GM-226	492822	5676997	19		Affleurement	S9B, MG			3500
14-GM-227	492621	5677307	19		Affleurement	M4, GP	1600	1400	
14-GM-228	492935	5676701	19	531408	Bloc	M4[GF]GP	9000	6500	
14-GM-229	492925	5676811	19		Affleurement	M20(M4)[GM]BO, GR			
14-GM-230	492931	5676854	19		Mort-Terrain	MT	30	20	
14-GM-231	492941	5676851	19		Mort-Terrain	MT	150	120	
14-GM-232	492950	5676984	19		Affleurement	M20(M4)[GM]BO,GR			
14-GM-233	492992	5677020	19		Affleurement	M4[GM]BO, GR			
14-GM-234	493032	5677071	19		Affleurement	M4[GF][GM]BO, GR, KN			
14-GM-235	493112	5677070	19		Mort-Terrain	MT	50	50	
14-GM-236	493119	5677056	19		Mort-Terrain	MT	600	450	
14-GM-237	493100	5677050	19	531411	Affleurement	M4[GF]GP, PO	9000	7800	
14-GM-238	493085	5677031	19		Affleurement	M4[GF]BO, GP	1000		
14-GM-239	493113	5677042	19		Mort-Terrain	MT	40	40	
14-GM-240	493104	5677020	19		Mort-Terrain	MT			
14-GM-241	493094	5677051	19		Mort-Terrain	MT			
14-GM-242	493165	5677154	19		Mort-Terrain	MT	30	20	
14-GM-243	493166	5677216	19		Affleurement	M20(M4)[GF]BO, GR			

Station	Description	Structure	Azimuth	Pendage
14-GM-222	Conducteur épais de 3 m			
14-GM-223	Contact entre le paragneiss moyen à biotite et grenat, limite metatexite, et un niveau de roche métasomatique moyennement grenue à grenat, quartz et hornblende. Présence d'un niveau de 30 cm minéralisé en graphite (échantillonné)			
14-GM-224	Bordure est d'une zone à la fois magnétique et faiblement conductrice			
14-GM-225	Formation de fer massive, à grains moyens, à quartz, magnétite et trace de graphite, bordure ouest de la zone magnétique			
14-GM-226	Formation de fer à magnétite			
14-GM-227	Paragneiss faiblement conducteur, minéralisé en graphite, 4 pieds de mort terrain, non échantillonné, conducteur suivi sur 3 m d'épaisseur			
14-GM-228	Bloc subanguleux de 50 par 70 cm de paragneiss fin à 20% de graphite disséminés (0,7 mm) et de veinules de 2 mm de large			
14-GM-229	Metatexite (paragneiss) à grains moyens, biotite et grenat, 10 % de mobilisat grossier boudiné de feldspath et quartz	Gneissosité	32	99
14-GM-230	Bordure ouest conducteur			
14-GM-231	Bordure est conducteur (en continu depuis 14-GM-230)			
14-GM-232	Métatexite (paragneiss) à grains moyens, à biotite et grenat, 20% de mobilisat grossier à feldspath et quartz, plissé			
14-GM-233	Paragneiss à biotite et grenat à 10% de mobilisat grossier (quartz)	Gneissosité	42	67
14-GM-234	Paragneiss fin à moyen à biotite, grenat et kyanite à 15% de mobilisat moyen à grossier à quartz, feldspath et kyanite	Gneissosité	28	99
14-GM-235	Bordure ouest du conducteur EM			
14-GM-236	Bordure est du conducteur			
14-GM-237	Paragneiss fin à 20% de graphite et pyrrhotite, affleurement à 5 m de la bordure ouest du conducteur			
14-GM-238	Paragneiss fin à biotite avec trace de graphite et mobilisat moyen à quartz et feldspath	Gneissosité	25	99
14-GM-239	Bordure est du conducteur (en continu depuis 14-GM-237)			
14-GM-240	Bordure est du conducteur			
14-GM-241	Bordure ouest du conducteur (en continu depuis 14-GM-239)			
14-GM-242	Conducteur ponctuel			
14-GM-243	Metatexite (paragneiss) à biotite et grenat, mobilisat (25%) moyen à grossier à quartz, feldspath et biotite	Gneissosité	46	57

Station	X (NAD83)	Y (NAD83)	Zone UTM	Numéro d'analyse	Type	Code lithologique	Haute fréquence (Beep Mat)	Basse fréquence (Beep Mat)	Magnétisme (Beep Mat)
14-GM-244	493212	5677223	19		Mort-Terrain	MT	200	200	
14-GM-245	493224	5677207	19		Mort-Terrain	MT	200	200	
14-GM-246	493241	5677247	19	531412	Affleurement	F1[GF]GP, PY	12000		
14-GM-247	493244	5677350	19		Affleurement	M20(M4)[GF][GM]O, GR, KN			
14-GM-248	493239	5677271	19		Affleurement	M20(M4)/EM	500		
14-GM-248	493239	5677271	19		Mort-Terrain	MT	500		
14-GM-249	493308	5677344	19		Affleurement	M20(M4)/EM			
14-GM-249	493308	5677344	19		Mort-Terrain	MT			
14-GM-250	493361	5677398	19	531413	Affleurement	M4[GF][GM]BO, GR, GP	6000	5500	
14-GM-251	493367	5677401	19		Mort-Terrain	MT			
14-GM-252	493352	5677432	19		Mort-Terrain	MT			
14-GM-253	493354	5677381	19		Mort-Terrain	MT	1200		
14-GM-254	493316	5677327	19		Mort-Terrain	MT			
14-GM-255	493312	5677333	19		Mort-Terrain	MT	700		
14-GM-256	493210	5677137	19		Affleurement	M15[GF][GM]GR, HB, QZ			
14-GM-257	493082	5676886	19		Affleurement	M15[GF]GR, HB, QZ			
14-GM-258	493021	5676696	19	531414	Affleurement	M15[GM][GG]KN++, GR, BO			
14-GM-258	492374	5678607	19		Affleurement	M1[GM][HK]HB,GR/M1[GF][SD]BO, GR			
14-GM-259	492202	5678525	19		Affleurement	M20(M4)[GF][GR]BO			
14-GM-260	493595	5677987	19		Affleurement	M13[GM][RU]QZ			
14-GM-261	493641	5677970	19		Mort-Terrain	MT	600		
14-GM-262	493660	5677962	19	531415	Affleurement	M4[GF]BO, GR, PY, GP, PO, RC	20000		
14-GM-263	493672	5677948	19		Affleurement	M20(M4)[GM][RU]BO, GR/MT, EM			
14-GM-264	493716	5677930	19		Affleurement	M20(M4)[GM][GG]BO, GR, KN			

Station	Description	Structure	Azimuth	Pendage
14-GM-244	Bordure ouest conducteur			
14-GM-245	Bordure est conducteur			
14-GM-246	Graphite et pyrite semi-massive fins, veinules de graphite de 2 mm de large, juste au dessus un gossan constitué d'oxyde, de fragments de lithologie métasédimentaires (marbre, paragneiss) et de blocs arrondis issus du till			
14-GM-247	Métatexite (paragneiss) à biotite, grenat et kyanite, 5% de mobilisat moyen à quartz et feldspath	Gneissosité	46	61
14-GM-248	Contact entre la métatexite (à l'ouest) et le conducteur	Gneissosité	56	99
14-GM-248	Bordure ouest du conducteur au contact avec la métatexite			
14-GM-249	Contact entre la métatexite (à l'ouest) et le conducteur	Gneissosité	47	99
14-GM-249	Bordure ouest du conducteur au contact avec la métatexite			
14-GM-250	Paragneiss rouillé à biotite, grenat et graphite (5% et paillettes 1 mm)			
14-GM-251	Bordure est du conducteur			
14-GM-252	Bordure ouest du conducteur			
14-GM-253	conducteur			
14-GM-254	Bordure est du conducteur			
14-GM-255	conducteur			
14-GM-256	Roche métasomatique fine à moyenne avec concentration de grenat (30%) en bande, hornblende et quartz	Gneissosité	32	80
14-GM-257	Roche métasomatique métamorphisée à grenat, hornblende et quartz			
14-GM-258	Roche métasomatique à kyanite (20%), mobilisat grossier lité à quartz et kyanite, fond de la roche biotite, grenat quartz et kyanite	Gneissosité	214	37
14-GM-258	Gneiss hétérogène à niveau moyen à hornblende et grenat et niveau fin à biotite et trace de grenat			
14-GM-259	Niveau de paragneiss fin recristallisé, à biotite dans le gneiss gris	Gneissosité	187	69
14-GM-260	Marbre moyen à rubans de quartz blanc (5%)	Gneissosité	66	99
14-GM-261	Bordure ouest du conducteur			
14-GM-262	Paragneiss fin à biotite, grenat et roscolite, minéralisé en graphite, pyrrhotite et pyrite à hauteur de 15%	Gneissosité	39	74
14-GM-263	Contact entre le conducteur (à l'ouest) et la métatexite (paragneiss) à l'est, rubanée à biotite et grenat	Gneissosité	33	66
14-GM-264	Métatexite (paragneiss) myenne à grossière à biotite, grenat et kyanite			

Station	X (NAD83)	Y (NAD83)	Zone UTM	Numéro d'analyse	Type	Code lithologique	Haute fréquence (Beep Mat)	Basse fréquence (Beep Mat)	Magnétisme (Beep Mat)
14-GM-265	493491	5677793	19		Mort-Terrain	MT			
14-GM-266	493504	5677785	19	531416	Affleurement	F1[GF]GP, PO, QZ	23000	18000	
14-GM-267	493546	5677762	19		Mort-Terrain	MT			
14-GM-268	493364	5677682	19		Mort-Terrain	MT			
14-GM-269	493449	5677591	19		Mort-Terrain	MT	60	40	
14-GM-270	493422	5677620	19	531417	Affleurement	F1[GF]PO, GP, QZ	22000	18000	
14-GM-271	493407	5677622	19		Mort-Terrain	MT	1000		
14-GM-273	493964	5678317	19		Affleurement	M20(M4)BO, GR			
14-GM-274	493958	5678373	19		Affleurement	M20(M4)[GM][GG]BO, GR, KN			
14-GM-275	494063	5678498	19		Affleurement	M20(M4)[RU][GF]BO, GR			
14-GM-276	494074	5678505	19	531419	Affleurement	M4[GM]BO, GR	10000		
14-GM-277	493947	5678324	19		Mort-Terrain	MT			
14-GM-278	493964	5678403	19		Affleurement	M20			
14-GM-279	494020	5678474	19		Affleurement	M20(M4)			
14-GM-280	494107	5678517	19		Mort-Terrain	MT	50		
14-GM-281	493788	5677947	19		Affleurement	M20(M4)[GM]BO, GR[PQ]			
14-GM-282	493058	5678347	19		Affleurement	M15(S9)[GM]HB, GR			
14-GM-283	492986	5678272	19	531420	Affleurement	S9B[RU][GM]MG			1200
14-GM-284	492962	5678160	19		Affleurement	M4[RU][SC]	500	420	
14-GM-285	492984	5678071	19	531421	Affleurement	M4[GF][GM][SC]			
14-GM-286	492989	5678083	19		Mort-Terrain	MT			
14-GM-287	492983	5678121	19		Mort-Terrain	MT			
14-GM-288	492968	5678149	19		Mort-Terrain	MT			
14-GM-289	492772	5677751	19	531422	Affleurement	M4[SC]GP, BO	5000		
14-GM-290	492819	5677701	19	531423	Affleurement	M15(S9)[GF][GM]GR, MG			
14-GM-291	492870	5677749	19	531424	Affleurement	S9B[GF]			

Station	Description	Structure	Azimuth	Pendage
14-GM-265	Bordure ouest du conducteur			
14-GM-266	Minéralisation semi-massive en graphite (paillettes 0,3 mm) et veinules de pyrrhotite fine			
14-GM-267	Bordure est du conducteur			
14-GM-268	Bordure ouest du conducteur (conducteur en continu depuis 14-GM-267)			
14-GM-269	Bordure est du conducteur, en continu depuis 14-GM-269			
14-GM-270	Minéralisation semi-massive en graphite, pyrrhotite et quartz fins, paillettes de 0,3 mm et veinules à paillettes 2 mm, veinules sulfures	Gneissosité	45	99
14-GM-271	Fort conducteur			
14-GM-273	Métatexite (paragneiss) à biotite, grenat et trace de graphite	Gneissosité	46	81
14-GM-274	Métatexite (paragneiss) moyenne à mobilisat grossier, à biotite, grenat et kyanite. Mobilisat boudiné	Gneissosité	29	70
14-GM-275	Métatexite (paragneiss) rubanée à grains fins, biotite et grenat	Gneissosité	33	51
14-GM-276	Une veine de graphite (20 cm) dans un paragneiss à biotite et grenat			
14-GM-277	Conducteur ponctuel			
14-GM-278	Métatexite rubanée			
14-GM-279	Métatexite d'origine sédimentaire	Gneissosité	335	79
14-GM-280	Conducteur sur une épaisseur de 5 m			
14-GM-281	Métatexite (paragneiss) moyenne à biotite et grenat porphyroblastique	Gneissosité	204	69
14-GM-282	Roche métasomatique (15% grenat 40% amphibole) associée aux formation de fer, à grains moyens de quartz, hornblende et grenat, légèrement magnétique			
14-GM-283	Formation de fer rubanée à magnétite			
14-GM-284	Paragneiss rubané et schisteux avec trace de graphite, conducteur sur 5 m d'épaisseur	Gneissosité	136	66
14-GM-285	Paragneiss fin à moyen, schisteux, avec trace de graphite dans les plan de schistosité (paillettes 2 mm), conducteur sur 5 m d'épaisseur	Gneissosité	215	68
14-GM-286	Conducteur de 5 m d'épaisseur			
14-GM-287	Conducteur de 5 m d'épaisseur (continuité de 14-GM-286)			
14-GM-288	Conducteur de 5 m d'épaisseur (continuité des deux précédents)			
14-GM-289	Conducteur, bloc anguleux probablement sub en place de paragneiss schisteux à graphite, paillettes mm (7%)			
14-GM-290	Roche métasomatique associée à la formation de fer, granulométrie fine à moyenne, 40% grenat, magnétique, très dense			
14-GM-291	Formation de fer à hématite, à grains fins	Gneissosité	231	71

Station	X (NAD83)	Y (NAD83)	Zone UTM	Numéro d'analyse	Type	Code lithologique	Haute fréquence (Beep Mat)	Basse fréquence (Beep Mat)	Magnétisme (Beep Mat)
14-GM-292	492888	5677763	19		Affleurement	S9[RU]AM			
14-GM-293	492916	5677754	19		Affleurement	M13			
14-GM-294	493127	5678169	19		Affleurement	M13[GF][GM]			
14-GM-295	493504	5677664	19		Mort-Terrain	MT			
14-GM-296	493580	5677850	19		Mort-Terrain	MT			
14-GM-297	493556	5677884	19		Mort-Terrain	MT			
14-GM-298	493760	5677955	19		Mort-Terrain	MT			
14-GM-299	493774	5677947	19		Mort-Terrain	MT			
14-GM-300	492947	5678041	19		Affleurement	S9B, MG			
14-GM-301	492753	5677765	19		Mort-Terrain	MT			
14-GM-302	492775	5677747	19		Mort-Terrain	MT			
14-GM-303	494598	5675299	19		Affleurement	M1[GF][GM][RU]BO, FK			
14-GM-304	494625	5675903	19		Affleurement	M13[RU][GF]/M12[AP]			
14-GM-307	494365	5675833	19		Affleurement	M4, GP			
14-GM-308	494539	5675659	19		Affleurement	M13[GM][RU]/M12			
14-SL-001	494396	5676058	19		Affleurement	M20(M4), BO, GR			
14-SL-005	494344	5675834	19		Affleurement	M4[GF] BO, GP	100		
14-SL-006	494276	5675651	19	531449	Affleurement	M4[GF] MV, GP			
14-SL-007	494186	5675748	19	531448	Affleurement	F2[GF] GP	5500		
14-SL-008	491362	5667572	19	531447	Affleurement	M20(M4)[GM][SD]BO			

Station	Description	Structure	Azimuth	Pendage
14-GM-292	Formation de fer rubanée à rosette d'amphibole	Gneissosité	196	73
14-GM-293	Marbre à patine chamois			
14-GM-294	Marbre blanc fin à moyen, niveau boudinés de quartzite blanc			
14-GM-295	Bordure est du conducteur			
14-GM-296	Bordure est du conducteur			
14-GM-297	Bordure ouest du conducteur			
14-GM-298	Bordure ouest du conducteur			
14-GM-299	Bordure est du conducteur			
14-GM-300	Formation de fer à magnétite			
14-GM-301	Bordure ouest de la zone magnétique			
14-GM-302	Bordure est du conducteur, retour dans la zone magnétique			
14-GM-303	Gneiss fin à moyen, rubané, à biotite et rubans cm orangé à feldspaths potassiques	Gneissosité	45	84
14-GM-304	Marbre blanc rubané à grains fins avec bandes cm de quartzite aphanitique	Gneissosité	27	73
14-GM-307	Paragneiss à graphite découvert par la lame du bulldozer			
14-GM-308	Marbre moyen à rubans de quartzite cm	Gneissosité	32	52
14-SL-001	Métatexite rubanée à bandes de biotite et grenat et bandes plus grossières QZ et FP	Rubanement	45	54
14-SL-005	Paragneiss fin à biotite et graphite en paillettes 0.5 mm (trace)			
14-SL-006	Paragneiss fin à muscovite (altération biotite) et 1% de paillettes 0.7 à 2 mm de graphite			
14-SL-007	Graphite massif fin à pyrrhotite, très magnétique			
14-SL-008	Metatexite saccharoïdale à grain moyen	Rubanement	58	66

Annexe 3: Résultats d'analyses pour le carbone graphitique (Cg) et les éléments traces.

Campagne d'exploration 2014, projet Lac Tétépisca

(certificat VO14174657)

Numéro d'analyse	X (NAD83)	Y (NAD83)	Zone UTM	Description	Station	Cg (%)	S (%)	Zn (ppm)	V (ppm)
531401	492799	5676459	19	Bloc sub anguleux de 15 par 20 cm de paragneiss à biotite altérée en muscovite et paillettes de graphite (2%)	14-GM-202	0,54	0,13	334	398
531402	492726	5676468	19	Bloc anguleux de 1,5 par 2 m d'un intrusif à grains fins avec rosettes centimétriques de chrysotile bleuâtre à verdatre, très magnétique	14-GM-203	0,08	0,01	130	44
531403	492674	5676490	19	Formation de fer à grain moyen, magnétite bien visible, trace de pyrite et de graphite	14-GM-205	0,34	0,21	10	42
531405	492704	5676683	19	Paragneiss fin à moyen, schisteux, à biotite, grenat, graphite et kyanite. Paillettes de graphite concentrées dans des niveaux dm boudinés. Fractures graphiteuses. EM sur 3 m d'épaisseur	14-GM-214	4,24	6,83	445	367
531406	492876	5676702	19	Paragneiss fin à quartz, minéralisé en pyrrhotite, pyrite et 7% de paillettes de graphite de 0,3 mm	14-GM-221	5,79	>10.0	535	405
531407	492821	5676844	19	Formation de fer massive, à grains moyens, à quartz, magnétite et trace de graphite, bordure ouest de la zone magnétique	14-GM-225	0,63	0,77	15	36
531408	492935	5676701	19	Bloc subanguleux de 50 par 70 cm de paragneiss fin à 20% de graphite disséminés (0,7 mm) et de veinules de 2 mm de large	14-GM-228	28,80	6,54	126	676
531409				Blanc		-0,02	0,03	-2	2
531410	492924	5676782	19	Contact entre le paragneiss moyen à biotite et grenat, limite metatexite, et un niveau de roche métasomatique moyennement grenue à grenat, quartz et hornblende. Présence d'un niveau de 30 cm minéralisé en graphite (échantillonné)	14-GM-223	16,00	8,83	226	358
531411	493100	5677050	19	Paragneiss fin à 20% de graphite et pyrrhotite, affleurement à 5 m de la bordure ouest du conducteur	14-GM-237	32,00	7,75	102	1020
531412	493241	5677247	19	Graphite et pyrite semi-massive fins, veinules de graphite de 2 mm de large, juste au dessus un gossan constitué d'oxyde, de fragments de lithologie métasédimentaires (marbre, paragneiss) et de blocs arrondis issus du till	14-GM-246	36,00	>10.0	196	1390

Numéro d'analyse	Fe (%)	Ag (ppm)	Al (%)	As (ppm)	Ba (ppm)	Be (ppm)	Bi (ppm)	Ca (%)	Cd (ppm)	Ce (ppm)	Co (ppm)	Cr (ppm)	Cs (ppm)
531401	12,15	0,17	8,32	1,3	510	1,87	0,38	5,84	2,31	54,9	18,5	75	1,49
531402	9,22	0,02	1,12	0,2	30	0,13	0,02	0,12	0,08	16,35	150,5	5970	0,05
531403	35,6	0,01	0,36	9,2	10	1,06	0,04	0,48	0,02	19,35	10,9	12	0,12
531405	17,35	0,23	3,81	41	90	1,41	0,31	1,18	2,38	76,9	20,5	58	10,6
531406	24,7	3,45	2,51	4,5	100	0,27	1,31	1,24	6,58	77,9	60,7	61	1,56
531407	37,6	0,04	0,29	12,9	30	1,12	0,04	3,05	0,06	39,5	12,2	4	0,12
531408	22,7	2,3	0,8	6,1	60	0,29	1,42	0,3	1,13	44,3	54,3	44	0,25
531409	0,2	0,03	0,06	-0,2	10	-0,05	0,02	0,02	-0,02	0,88	0,3	18	-0,05
531410	12,25	0,64	4,42	1,5	80	1,15	0,81	0,85	0,88	56,1	65,5	65	0,62
531411	22,2	1,98	0,96	2,9	100	0,54	1,74	0,79	1,11	67,2	73,3	59	0,43
531412	18,5	2,57	1,19	9,6	110	0,73	1,25	1,06	1,44	59,3	99,1	115	0,88

Numéro d'analyse	Cu (ppm)	Ga (ppm)	Ge (ppm)	Hf (ppm)	In (ppm)	K (%)	La (ppm)	Li (ppm)	Mg (%)	Mn (ppm)	Mo (ppm)	Na (%)	Nb (ppm)
531401	45,9	25	0,14	1,8	0,095	1,21	23,4	56,7	3,89	2410	2,89	0,84	19,4
531402	0,7	5,09	0,11	0,3	0,015	0,01	8,4	3,9	24,1	1790	0,12	0,01	0,6
531403	4,2	2,79	0,17	0,3	0,009	0,01	10,4	3,2	5,02	22000	1,09	0,03	3,3
531405	74,7	21,8	0,22	4,6	0,124	2,03	41,6	21,5	1,89	1150	23,2	0,08	38,1
531406	618	7,32	0,2	1,4	0,074	0,53	36,9	12,5	1,37	6620	39,2	0,06	5
531407	6,2	2,84	0,37	0,6	0,015	0,02	21,5	2	5,25	21700	2,24	0,02	5,5
531408	562	4,02	0,23	0,8	0,011	0,2	22,2	6,3	0,36	295	115,5	0,07	5,9
531409	2,2	0,24	-0,05	-0,1	-0,005	0,02	-0,5	3,6	0,01	31	0,27	0,02	0,1
531410	298	13,35	0,2	2,5	0,027	1,83	27,6	21,9	1,31	428	75,9	0,77	9,8
531411	489	4,23	0,2	0,5	0,032	0,16	38,4	2,7	0,51	241	138	0,19	1,5
531412	633	6,23	0,25	1,4	0,073	0,3	34,4	3,4	0,77	176	147,5	0,2	5,2

Numéro d'analyse	Ni (ppm)	P (ppm)	Pb (ppm)	Rb (ppm)	Re (ppm)	Sb (ppm)	Sc (ppm)	Se (ppm)	Sn (ppm)	Sr (ppm)	Ta (ppm)	Te (ppm)	Th (ppm)
531401	33,3	2200	8,6	64,4	0,003	0,15	38,6	3	2,6	190	1,3	0,08	2,3
531402	1770	400	1	0,6	-0,002	0,08	3,2	-1	0,3	4,5	0,06	-0,05	1,9
531403	6,8	690	2,1	0,5	-0,002	0,36	1,2	1	-0,2	3,5	0,1	0,07	0,3
531405	82,4	660	11,2	143	0,022	0,68	12,4	5	2,1	23,3	2,61	0,42	7,6
531406	191	1230	282	32,7	0,038	0,15	6,3	20	0,7	15,8	0,32	0,88	4,7
531407	7,8	690	3	0,7	0,002	0,55	1	2	0,2	21,4	0,18	0,09	0,5
531408	178	1160	15,6	8,8	0,065	0,15	2,7	28	0,3	11,3	0,24	0,6	3,4
531409	1,4	10	1,3	0,4	-0,002	0,05	0,1	-1	-0,2	5,8	-0,05	-0,05	-0,2
531410	234	830	11,8	81,3	0,063	0,1	9,7	18	0,8	76,6	0,54	0,36	6,2
531411	202	550	10,3	5,3	0,074	0,15	13,2	22	0,3	27,7	0,06	0,45	2,7
531412	319	1040	9,6	10,7	0,143	0,24	14,2	33	0,7	38,1	0,35	0,63	5,7

Numéro d'analyse	Ti (%)	Ti (ppm)	U (ppm)	W (ppm)	Y (ppm)	Zr (ppm)
531401	1,48	1,03	7,3	1,8	48,2	60
531402	0,064	0,02	0,1	0,2	1,9	14,6
531403	0,027	0,03	0,7	0,3	21,7	19,3
531405	0,325	2,36	20,5	1	31,8	170,5
531406	0,113	1,77	25,6	0,8	38,1	56,1
531407	0,03	0,04	1,4	2,2	30,9	34,5
531408	0,112	0,39	22,6	0,8	17,2	32,4
531409	-0,005	-0,02	0,1	0,3	0,2	1,3
531410	0,301	1,03	20,2	1,1	22,4	93,1
531411	0,074	0,17	35,2	0,5	26,2	17,6
531412	0,198	0,51	39	0,6	24,6	60,1

Numéro d'analyse	X (NAD83)	Y (NAD83)	Zone UTM	Description	Station	Cg (%)	S (%)	Zn (ppm)	V (ppm)
531413	493361	5677398	19	Paragneiss rouillé à biotite, grenat et graphite (5% et paillettes 1 mm)	14-GM-250	3,86	8,89	1100	595
531414	493021	5676696	19	Roche métasomatique à kyanite (20%), mobilisat grossier lité à quartz et kyanite, fond de la roche biotite, grenat quartz et kyanite	14-GM-258	0,16	0,05	87	70
531415	493660	5677962	19	Paragneiss fin à biotite, grenat et roscoelite, minéralisé en graphite, pyrrhotite et pyrite à hauteur de 15%	14-GM-262	7,49	8,73	1000	721
531416	493504	5677785	19	Minéralisation semi-massive en graphite (paillettes 0,3 mm) et veinules de pyrrhotite fine	14-GM-266	26,90	6,98	424	1160
531417	493422	5677620	19	Minéralisation semi-massive en graphite, pyrrhotite et quartz fins, paillettes de 0,3 mm et veinules à paillettes 2 mm, veinules sulfures	14-GM-270	35,10	>10.0	137	465
531418				Standard CMRI-12		12,20	4,26	1020	761
531419	494074	5678505	19	Une veine de graphite (20 cm) dans un paragneiss à biotite et grenat	14-GM-276	>50	0,24	105	54
531421	492984	5678071	19	Paragneiss fin à moyen, schisteux, avec trace de graphite dans les plan de schistosité (paillettes 2 mm), conducteur sur 5 m d'épaisseur	14-GM-285	1,06	0,67	195	32
531422	492772	5677751	19	Conducteur, bloc anguleux probablement sub en place de paragneiss schisteux à graphite, paillettes mm (7%)	14-GM-289	31,10	0,17	64	685
531424	492870	5677749	19	Formation de fer à hématite, à grains fins	14-GM-291	0,35	0,13	15	27
531447	491362	5667572	19	Metatextite saccharoïdale à grain moyen	14-SL-008	0,09	0,24	98	126
531448	494186	5675748	19	Graphite massif fin à pyrrhotite, très magnétique	14-SL-007	25,30	>10.0	117	768
531449	494276	5675651	19	Paragneiss fin à muscovite (altération biotite) et 1% de paillettes 0.7 à 2 mm de graphite	14-SL-006	5,53	>10.0	70	572
531450				Blanc		0,03	0,05	-2	3

Numéro d'analyse	Fe (%)	Ag (ppm)	Al (%)	As (ppm)	Ba (ppm)	Be (ppm)	Bi (ppm)	Ca (%)	Cd (ppm)	Ce (ppm)	Co (ppm)	Cr (ppm)	Cs (ppm)
531413	16,35	4,26	2,94	4,1	180	2,21	0,4	8,02	8,71	69,2	53,1	48	0,49
531414	4,75	0,02	6,48	0,3	860	0,45	0,06	0,63	0,15	56,4	14,9	83	5,75
531415	18,1	1,83	4,65	2,2	250	1,45	0,62	2,11	8,64	84,8	45,9	63	3,04
531416	12,45	1,62	4,69	15,2	180	0,66	0,44	1,1	1,87	52,7	35,4	104	1,69
531417	18,4	2,9	0,45	1,2	30	0,23	0,73	0,52	1,14	36,4	82,4	27	0,16
531418	8,06	1,05	4,05	24,4	320	1,71	0,83	3,45	6,77	71	20	193	3,76
531419	5,96	8,4	2,46	15,8	240	0,67	4,72	0,22	2,57	3,48	26,3	12	0,68
531421	23,2	0,08	0,17	2,9	10	1,02	0,07	0,46	0,73	6,11	8,7	14	0,42
531422	5,07	0,75	2,93	9,4	220	1,54	0,8	0,76	0,54	13,9	2,1	70	2,83
531424	31,4	0,06	0,13	1,9	10	1,7	0,09	0,97	0,11	10,65	13,9	4	0,14
531447	5,16	0,09	7,51	0,6	600	1,71	0,03	2,13	0,1	98,2	25,8	174	4,55
531448	28,7	3,41	0,91	53,7	110	0,49	2,07	0,27	1,42	57,2	87,5	51	1,3
531449	22,9	2,37	2,85	7,4	60	2,29	0,17	0,57	0,25	59	2,8	51	14,8
531450	0,45	0,02	0,05	0,3	-10	-0,05	0,01	0,02	-0,02	0,85	0,4	35	0,05

Numéro d'analyse	Cu (ppm)	Ga (ppm)	Ge (ppm)	Hf (ppm)	In (ppm)	K (%)	La (ppm)	Li (ppm)	Mg (%)	Mn (ppm)	Mo (ppm)	Na (%)	Nb (ppm)
531413	874	12,6	0,16	2	0,176	0,79	29,6	17,4	3,69	1960	34,1	0,55	12,6
531414	6,4	21	0,2	1,1	0,057	4,61	26,9	28,9	1,45	1320	0,35	0,17	8,1
531415	352	13,3	0,25	2,1	0,097	1,4	40,2	15	1,7	4010	38,3	0,37	12,5
531416	258	11,7	0,19	5,7	0,02	2,52	24,4	21,1	0,9	292	60,2	0,8	14,9
531417	581	2,78	0,17	0,5	0,03	0,09	20	2,4	0,35	106	135	0,08	3,4
531418	183,5	11,2	0,18	2,5	0,071	1,92	41,2	22,5	2,02	579	90	0,69	14,2
531419	658	3,13	0,23	2,3	0,034	1,56	1,5	2,1	0,08	132	73	0,69	7,5
531421	30,2	1,9	0,09	0,1	0,013	0,05	2,7	0,8	3,36	11350	1,79	0,02	0,2
531422	78,2	11,6	0,14	2,5	0,037	1,41	8	8,9	0,72	2230	163,5	0,2	9,7
531424	11,4	1,74	0,1	0,1	0,007	0,01	5,6	6,2	3,93	8910	1,61	0,03	0,8
531447	59	21,6	0,16	2,2	0,051	2,92	39,7	36,6	2,47	686	2,31	2,3	7,1
531448	587	3,57	0,24	1,5	0,018	0,42	34,9	5,1	0,27	136	140	0,18	13,3
531449	346	11,85	0,17	2,8	0,006	1,27	33,1	22,1	1,47	150	39,4	0,08	4,5
531450	4,3	0,25	0,06	-0,1	-0,005	0,01	-0,5	4,1	0,02	45	2,01	0,01	0,1

Numéro d'analyse	Ni (ppm)	P (ppm)	Pb (ppm)	Rb (ppm)	Re (ppm)	Sb (ppm)	Sc (ppm)	Se (ppm)	Sn (ppm)	Sr (ppm)	Ta (ppm)	Te (ppm)	Th (ppm)
531413	137,5	850	19,1	34,1	0,024	0,33	5,6	10	1,2	204	0,6	0,4	0,3
531414	61,7	460	27,7	162,5	-0,002	0,08	15,6	1	0,8	96,7	0,39	-0,05	9,7
531415	162	1450	11,5	75,5	0,047	0,39	26,2	13	1,9	84	0,69	0,45	5,2
531416	131,5	660	31	68,5	0,057	0,62	10,7	15	1,3	205	1,24	0,35	5,5
531417	215	570	3,6	2,5	0,092	0,36	6	24	0,2	14,9	0,2	0,56	3,3
531418	203	1830	21,5	92,9	0,054	0,41	10	8	1,8	167	0,79	0,16	7,5
531419	52	550	7,1	58,2	0,025	1,33	4,2	46	1,1	50,4	0,43	1,46	0,5
531421	6,8	190	1,2	2,7	-0,002	0,29	0,6	-1	-0,2	4,7	-0,05	0,13	-0,2
531422	5,7	950	24,7	70,6	0,011	2,01	7,9	10	1,5	62,5	0,62	0,41	4,8
531424	4	460	1,8	1,3	-0,002	0,18	0,5	1	-0,2	6,7	-0,05	0,07	0,2
531447	96,4	1030	15,2	127	-0,002	0,07	17,5	1	1	389	0,64	-0,05	7,4
531448	370	590	14,2	20,5	0,206	0,34	3,3	40	0,8	33,4	0,86	0,82	8,5
531449	318	470	20,3	100	0,057	3,14	7,5	14	1,3	74,3	0,75	0,15	10,3
531450	3,3	10	-0,5	0,8	-0,002	0,08	0,1	-1	-0,2	2,1	-0,05	-0,05	-0,2

Numéro d'analyse	Ti (%)	Ti (ppm)	U (ppm)	W (ppm)	Y (ppm)	Zr (ppm)
531413	0,197	0,63	9,7	0,8	21,4	82,8
531414	0,35	0,77	0,6	0,3	17,3	37,9
531415	0,593	2,6	28	2,8	60,2	84,5
531416	0,474	2,34	55,3	1,9	53,5	220
531417	0,086	0,13	6,2	0,6	10,7	19,6
531418	0,242	1,29	38,9	5,4	52,4	100,5
531419	0,326	1,79	1,1	4,2	5,9	96,4
531421	0,014	0,06	0,6	0,2	4,4	8,5
531422	0,173	1,25	16,7	6,3	63,1	102
531424	0,016	0,03	0,4	0,2	8,1	7,3
531447	0,368	1,01	2,6	0,2	16,9	82,6
531448	0,179	0,5	56,5	1,2	23,7	58,5
531449	0,118	9,13	19,6	1	16,5	116,5
531450	-0,005	0,04	0,1	0,1	0,2	0,6

Annexe 4: Résultats des analyses lithogéochimiques. Campagne d'exploration 2014, projet Lac Tétépisca (certificat VO14174556).

Numéro d'analyse	X (NAD83)	Y (NAD83)	Station	Zone UTM	Description
531404	492342	5676969	14-GM-209	19	Formation de fer aux oxydes, à grains moyens, grenat, quartz, magnétite, trace de kyanite, peut être hématite spéculaire ou trace de graphite, poches cm de feldspath et grenat (mobilisat). Bordure ouest de la zone magnétique
531420	492986	5678272	14-GM-283	19	Formation de fer rubanée à magnétite
531423	492819	5677701	14-GM-290	19	Roche métasomatique associée à la formation de fer, granulométrie fine à moyenne, 40% grenat, magnétique, très dense

Numéro	SiO ₂ (%)	Al ₂ O ₃ (%)	Fe ₂ O ₃ (%)	CaO (%)	MgO (%)	Na ₂ O (%)	K ₂ O (%)	Cr ₂ O ₃ (%)	TiO ₂ (%)	MnO (%)	P ₂ O ₅ (%)	SrO (%)	BaO (%)
531404	47,7	1	49,3	1,15	2,6	0,06	0,07	-0,01	0,02	0,37	0,03	-0,01	-0,01
531420	50,1	0,2	43,4	0,78	7,03	0,05	0,06	-0,01	0,01	1,44	0,05	-0,01	-0,01
531423	45,6	3,1	37,5	5,67	5,15	0,12	0,03	-0,01	0,16	2,69	0,13	0,01	-0,01

Numéro	C (%)	S (%)	Ba (ppm)	Ce (ppm)	Cr (ppm)	Cs (ppm)	Dy (ppm)	Er (ppm)	Eu (ppm)	Ga (ppm)	Gd (ppm)	Hf (ppm)	Ho (ppm)
531404	0,21	0,05	11,5	2,3	10	0,11	0,43	0,29	0,11	3,5	0,33	0,2	0,09
531420	0,12	0,15	9,7	4,5	10	0,08	0,47	0,32	0,13	2,1	0,51	0,2	0,11
531423	0,43	0,02	8,8	21,7	30	0,06	2,53	1,87	0,65	7,6	2,41	0,7	0,6

Numéro	La (ppm)	Lu (ppm)	Nb (ppm)	Nd (ppm)	Pr (ppm)	Rb (ppm)	Sm (ppm)	Sn (ppm)	Sr (ppm)	Ta (ppm)	Tb (ppm)	Th (ppm)	Tm (ppm)
531404	1,1	0,04	1,4	1,4	0,31	1,4	0,32	-1	13,4	0,1	0,07	0,13	0,05
531420	2,6	0,05	-0,2	2,2	0,52	0,9	0,4	-1	7,9	-0,1	0,07	0,11	0,05
531423	11,9	0,26	4,4	11,9	2,75	0,9	2,32	1	58,1	0,2	0,41	0,55	0,28

Numéro	U (ppm)	V (ppm)	W (ppm)	Y (ppm)	Yb (ppm)	Zr (ppm)	As (ppm)	Bi (ppm)	Hg (ppm)	Sb (ppm)	Se (ppm)	Te (ppm)	Tl (ppm)
531404	0,21	26	-1	3,3	0,27	9	0,7	0,01	-0,005	-0,05	0,2	-0,01	-0,02
531420	0,17	18	-1	4	0,38	8	0,5	0,02	-0,005	-0,05	-0,2	0,02	-0,02
531423	0,83	119	-1	18,7	1,79	29	0,3	0,01	0,006	0,05	-0,2	-0,01	-0,02

Numéro	LOI (%)	Total (%)	Ag (ppm)	Cd (ppm)	Co (ppm)	Cu (ppm)	Li (ppm)	Mo (ppm)	Ni (ppm)	Pb (ppm)	Sc (ppm)	Zn (ppm)
531404	-3,2	99,1	-0,5	-0,5	7	3	10	-1	-1	-2	1	57
531420	-2,51	100,61	-0,5	-0,5	11	5	-10	-1	-1	-2	-1	8
531423	-0,66	99,5	-0,5	0,7	15	7	10	-1	18	2	7	46

Annexe 5: Certificat d'analyses VO14174657 pour le carbone graphitique et les éléments traces.

Projet Lac Tétépisca, campagne de prospection 2014.



ALS Canada Ltd.
2103 Dollarton Hwy
North Vancouver BC V7H 0A7
Téléphone: 604 984 0221 Télécopieur: 604 984 0218
www.alsglobal.com

À: FOCUS GRAPHITE INC.
912 - 130 ALBERT STREET
OTTAWA ON K1P 5G4

Page: 1
Nombre total de pages: 2 (A - D)
plus les pages d'annexe
Finalisée date: 2- FEVR- 2015
Compte: FOMETA

CERTIFICAT VO14174657

Projet: LAC TETEPISCA

Ce rapport s'applique aux 25 échantillons de roche soumis à notre laboratoire de Val d'Or, QC, Canada le 13- NOV- 2014.

Les résultats sont transmis à:

BENOIT LAFRANCE

GUILLAUME MATHIEU

PRÉPARATION ÉCHANTILLONS

CODE ALS	DESCRIPTION
WEI- 21	Poids échantillon reçu
LOG- 22	Entrée échantillon - Reçu sans code barre
LOG- 24	Entrée pulpe - Reçu sans code barre
CRU- QC	Test concassage QC
PUL- QC	Test concassage QC
CRU- 31	Granulation - 70 % < 2 mm
SPL- 21	Échant. fractionné - div. riffles
PUL- 31	Pulvérisé à 85 % < 75 um

PROCÉDURES ANALYTIQUES

CODE ALS	DESCRIPTION	INSTRUMENT
C- IR18		LECO
ME- MS61	ICP- MS 48 éléments, quatre acides	

À: FOCUS GRAPHITE INC.
ATTN: GUILLAUME MATHIEU
138 RUE PRICE, BUREAU 205
CHICOUTIMI QC G7J 1G8

Ce rapport est final et remplace tout autre rapport préliminaire portant ce numéro de certificat. Les résultats s'appliquent aux échantillons soumis. Toutes les pages de ce rapport ont été vérifiées et approuvées avant publication.

***** Voir la page d'annexe pour les commentaires en ce qui concerne ce certificat *****

Commentaire: ***Corrected copy with C- IR18 reporting to 100% upper limit***

Signature:

Colin Ramshaw, Vancouver Laboratory Manager



ALS Canada Ltd.
2103 Dollarton Hwy
North Vancouver BC V7H 0A7
Téléphone: 604 984 0221 Télécopieur: 604 984 0218
www.alsglobal.com

À: FOCUS GRAPHITE INC.
912 - 130 ALBERT STREET
OTTAWA ON K1P 5G4

Page: 2 - A
Nombre total de pages: 2 (A - D)
plus les pages d'annexe
Finalisée date: 2- FEVR- 2015
Compte: FOMETA

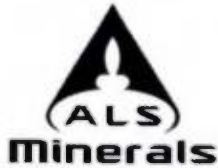
Projet: LAC TETEPISCA

CERTIFICAT D'ANALYSE VO14174657

Description échantillon	Méthode élément unités L.D.	WEI- 21	C- IR18	ME- MS61	ME- MS61	ME- MS61	ME- MS61	ME- MS61	ME- MS61	ME- MS61	ME- MS61	ME- MS61	ME- MS61	ME- MS61	ME- MS61	ME- MS61
		Poids reçu kg	C Graphi %	Ag ppm	Al %	As ppm	Ba ppm	Be ppm	Bi ppm	Ca %	Cd ppm	Ce ppm	Co ppm	Cr ppm	Cs ppm	Cu ppm
Q531401		1.74	0.54	0.17	8.32	1.3	510	1.87	0.38	5.84	2.31	54.9	18.5	75	1.49	45.9
Q531402		2.25	0.08	0.02	1.12	0.2	30	0.13	0.02	0.12	0.08	16.35	150.5	5970	0.05	0.7
Q531403		2.24	0.34	0.01	0.36	9.2	10	1.06	0.04	0.48	0.02	19.35	10.9	12	0.12	4.2
Q531405		1.62	4.24	0.23	3.81	41.0	90	1.41	0.31	1.18	2.38	76.9	20.5	58	10.60	74.7
Q531406		0.63	5.79	3.45	2.51	4.5	100	0.27	1.31	1.24	6.58	77.9	60.7	61	1.56	618
Q531407		1.43	0.63	0.04	0.29	12.9	30	1.12	0.04	3.05	0.06	39.5	12.2	4	0.12	6.2
Q531408		0.74	28.8	2.30	0.80	6.1	60	0.29	1.42	0.30	1.13	44.3	54.3	44	0.25	562
Q531409		0.33	<0.02	0.03	0.06	<0.2	10	<0.05	0.02	0.02	<0.02	0.88	0.3	18	<0.05	2.2
Q531410		0.27	16.00	0.64	4.42	1.5	80	1.15	0.81	0.85	0.88	56.1	65.5	65	0.62	298
Q531411		0.41	32.0	1.98	0.96	2.9	100	0.54	1.74	0.79	1.11	67.2	73.3	59	0.43	489
Q531412		1.16	36.0	2.57	1.19	9.6	110	0.73	1.25	1.06	1.44	59.3	99.1	115	0.88	633
Q531413		0.38	3.86	4.26	2.94	4.1	180	2.21	0.40	8.02	8.71	69.2	53.1	48	0.49	874
Q531414		0.86	0.16	0.02	6.48	0.3	860	0.45	0.06	0.63	0.15	56.4	14.9	83	5.75	6.4
Q531415		0.42	7.49	1.83	4.65	2.2	250	1.45	0.62	2.11	8.64	84.8	45.9	63	3.04	352
Q531416		0.31	26.9	1.62	4.69	15.2	180	0.66	0.44	1.10	1.87	52.7	35.4	104	1.69	258
Q531417		1.09	35.1	2.90	0.45	1.2	30	0.23	0.73	0.52	1.14	36.4	82.4	27	0.16	581
Q531418		0.03	12.20	1.05	4.05	24.4	320	1.71	0.83	3.45	6.77	71.0	20.0	193	3.76	183.5
Q531419		0.39	54.2	8.40	2.46	15.8	240	0.67	4.72	0.22	2.57	3.48	26.3	12	0.68	658
Q531421		0.30	1.06	0.08	0.17	2.9	10	1.02	0.07	0.46	0.73	6.11	8.7	14	0.42	30.2
Q531422		1.14	31.1	0.75	2.93	9.4	220	1.54	0.80	0.76	0.54	13.90	2.1	70	2.83	78.2
Q531424		0.98	0.35	0.06	0.13	1.9	10	1.70	0.09	0.97	0.11	10.65	13.9	4	0.14	11.4
Q531447		0.35	0.09	0.09	7.51	0.6	600	1.71	0.03	2.13	0.10	98.2	25.8	174	4.55	59.0
Q531448		0.87	25.3	3.41	0.91	53.7	110	0.49	2.07	0.27	1.42	57.2	87.5	51	1.30	587
Q531449		0.90	5.53	2.37	2.85	7.4	60	2.29	0.17	0.57	0.25	59.0	2.8	51	14.80	346
Q531450		0.26	0.03	0.02	0.05	0.3	<10	<0.05	0.01	0.02	<0.02	0.85	0.4	35	0.05	4.3

Commentaire: ***Corrected copy with C- IR18 reporting to 100% upper limit***

***** Voir la page d'annexe pour les commentaires en ce qui concerne ce certificat *****



ALS Canada Ltd.
2103 Dollarton Hwy
North Vancouver BC V7H 0A7
Téléphone: 604 984 0221 Télécopieur: 604 984 0218
www.alsglobal.com

À: FOCUS GRAPHITE INC.
912 - 130 ALBERT STREET
OTTAWA ON K1P 5G4

Page: 2 - B
Nombre total de pages: 2 (A - D)
plus les pages d'annexe
Finalisée date: 2- FEVR- 2015
Compte: FOMETA

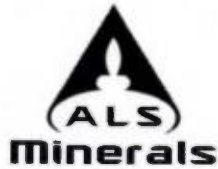
Projet: LAC TETEPISCA

CERTIFICAT D'ANALYSE VO14174657

Description échantillon	Méthode élément unités L.D.	ME- MS61	ME- MS61	ME- MS61	ME- MS61	ME- MS61	ME- MS61	ME- MS61	ME- MS61	ME- MS61	ME- MS61	ME- MS61	ME- MS61	ME- MS61	ME- MS61	ME- MS61
		Fe %	Ga ppm	Ge ppm	Hf ppm	In ppm	K %	La ppm	Li ppm	Mg %	Mn ppm	Mo ppm	Na %	Nb ppm	Ni ppm	P ppm
Q531401		12.15	25.0	0.14	1.8	0.095	1.21	23.4	56.7	3.89	2410	2.89	0.84	19.4	33.3	2200
Q531402		9.22	5.09	0.11	0.3	0.015	0.01	8.4	3.9	24.1	1790	0.12	0.01	0.6	1770	400
Q531403		35.6	2.79	0.17	0.3	0.009	0.01	10.4	3.2	5.02	22000	1.09	0.03	3.3	6.8	690
Q531405		17.35	21.8	0.22	4.6	0.124	2.03	41.6	21.5	1.89	1150	23.2	0.08	38.1	82.4	660
Q531406		24.7	7.32	0.20	1.4	0.074	0.53	36.9	12.5	1.37	6620	39.2	0.06	5.0	191.0	1230
Q531407		37.6	2.84	0.37	0.6	0.015	0.02	21.5	2.0	5.25	21700	2.24	0.02	5.5	7.8	690
Q531408		22.7	4.02	0.23	0.8	0.011	0.20	22.2	6.3	0.36	295	115.5	0.07	5.9	178.0	1160
Q531409		0.20	0.24	<0.05	<0.1	<0.005	0.02	<0.5	3.6	0.01	31	0.27	0.02	0.1	1.4	10
Q531410		12.25	13.35	0.20	2.5	0.027	1.83	27.6	21.9	1.31	428	75.9	0.77	9.8	234	830
Q531411		22.2	4.23	0.20	0.5	0.032	0.16	38.4	2.7	0.51	241	138.0	0.19	1.5	202	550
Q531412		18.50	6.23	0.25	1.4	0.073	0.30	34.4	3.4	0.77	176	147.5	0.20	5.2	319	1040
Q531413		16.35	12.60	0.16	2.0	0.176	0.79	29.6	17.4	3.69	1960	34.1	0.55	12.6	137.5	850
Q531414		4.75	21.0	0.20	1.1	0.057	4.61	26.9	28.9	1.45	1320	0.35	0.17	8.1	61.7	460
Q531415		18.10	13.30	0.25	2.1	0.097	1.40	40.2	15.0	1.70	4010	38.3	0.37	12.5	162.0	1450
Q531416		12.45	11.70	0.19	5.7	0.020	2.52	24.4	21.1	0.90	292	60.2	0.80	14.9	131.5	660
Q531417		18.40	2.78	0.17	0.5	0.030	0.09	20.0	2.4	0.35	106	135.0	0.08	3.4	215	570
Q531418		8.06	11.20	0.18	2.5	0.071	1.92	41.2	22.5	2.02	579	90.0	0.69	14.2	203	1830
Q531419		5.96	3.13	0.23	2.3	0.034	1.56	1.5	2.1	0.08	132	73.0	0.69	7.5	52.0	550
Q531421		23.2	1.90	0.09	0.1	0.013	0.05	2.7	0.8	3.36	11350	1.79	0.02	0.2	6.8	190
Q531422		5.07	11.60	0.14	2.5	0.037	1.41	8.0	8.9	0.72	2230	163.5	0.20	9.7	5.7	950
Q531424		31.4	1.74	0.10	0.1	0.007	0.01	5.6	6.2	3.93	8910	1.61	0.03	0.8	4.0	460
Q531447		5.16	21.6	0.16	2.2	0.051	2.92	39.7	36.6	2.47	686	2.31	2.30	7.1	96.4	1030
Q531448		28.7	3.57	0.24	1.5	0.018	0.42	34.9	5.1	0.27	136	140.0	0.18	13.3	370	590
Q531449		22.9	11.85	0.17	2.8	0.006	1.27	33.1	22.1	1.47	150	39.4	0.08	4.5	318	470
Q531450		0.45	0.25	0.06	<0.1	<0.005	0.01	<0.5	4.1	0.02	45	2.01	0.01	0.1	3.3	10

Commentaire: ***Corrected copy with C- IR18 reporting to 100% upper limit***

**** Voir la page d'annexe pour les commentaires en ce qui concerne ce certificat ****



ALS Canada Ltd.
2103 Dollarton Hwy
North Vancouver BC V7H 0A7
Téléphone: 604 984 0221 Télécopieur: 604 984 0218
www.alsglobal.com

À: FOCUS GRAPHITE INC.
912 - 130 ALBERT STREET
OTTAWA ON K1P 5G4

Page: 2 - C
Nombre total de pages: 2 (A - D)
plus les pages d'annexe
Finalisée date: 2- FEVR- 2015
Compte: FOMETA

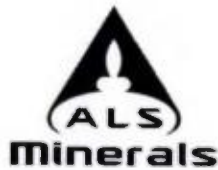
Projet: LAC TETEPISCA

CERTIFICAT D'ANALYSE VO14174657

Description échantillon	Méthode élément unités L.D.	ME- MS61	ME- MS61	ME- MS61	ME- MS61	ME- MS61	ME- MS61	ME- MS61	ME- MS61	ME- MS61	ME- MS61	ME- MS61	ME- MS61	ME- MS61	ME- MS61	
		Pb ppm	Rb ppm	Re ppm	S %	Sb ppm	Sc ppm	Se ppm	Sn ppm	Sr ppm	Ta ppm	Te ppm	Th ppm	Ti %	Ti ppm	U ppm
Q531401		8.6	64.4	0.003	0.13	0.15	38.6	3	2.6	190.0	1.30	0.08	2.3	1.480	1.03	7.3
Q531402		1.0	0.6	<0.002	0.01	0.08	3.2	<1	0.3	4.5	0.06	<0.05	1.9	0.064	0.02	0.1
Q531403		2.1	0.5	<0.002	0.21	0.36	1.2	1	<0.2	3.5	0.10	0.07	0.3	0.027	0.03	0.7
Q531405		11.2	143.0	0.022	6.83	0.68	12.4	5	2.1	23.3	2.61	0.42	7.6	0.325	2.36	20.5
Q531406		282	32.7	0.038	>10.0	0.15	6.3	20	0.7	15.8	0.32	0.88	4.7	0.113	1.77	25.6
Q531407		3.0	0.7	0.002	0.77	0.55	1.0	2	0.2	21.4	0.18	0.09	0.5	0.030	0.04	1.4
Q531408		15.6	8.8	0.065	6.54	0.15	2.7	28	0.3	11.3	0.24	0.60	3.4	0.112	0.39	22.6
Q531409		1.3	0.4	<0.002	0.03	0.05	0.1	<1	<0.2	5.8	<0.05	<0.05	<0.2	<0.005	<0.02	0.1
Q531410		11.8	81.3	0.063	8.83	0.10	9.7	18	0.8	76.6	0.54	0.36	6.2	0.301	1.03	29.2
Q531411		10.3	5.3	0.074	7.75	0.15	13.2	22	0.3	27.7	0.06	0.45	2.7	0.074	0.17	35.2
Q531412		9.6	10.7	0.143	>10.0	0.24	14.2	33	0.7	38.1	0.35	0.63	5.7	0.198	0.51	39.0
Q531413		19.1	34.1	0.024	8.89	0.33	5.6	10	1.2	204	0.60	0.40	0.3	0.197	0.63	9.7
Q531414		27.7	162.5	<0.002	0.05	0.08	15.6	1	0.8	96.7	0.39	<0.05	9.7	0.350	0.77	0.6
Q531415		11.5	75.5	0.047	8.73	0.39	26.2	13	1.9	84.0	0.69	0.45	5.2	0.593	2.60	28.0
Q531416		31.0	66.5	0.057	6.98	0.62	10.7	15	1.3	205	1.24	0.35	5.5	0.474	2.34	55.3
Q531417		3.6	2.5	0.092	>10.0	0.36	6.0	24	0.2	14.9	0.20	0.56	3.3	0.086	0.13	6.2
Q531418		21.5	92.9	0.054	4.26	0.41	10.0	8	1.8	167.0	0.79	0.16	7.5	0.242	1.29	38.9
Q531419		7.1	58.2	0.025	0.24	1.33	4.2	46	1.1	50.4	0.43	1.46	0.5	0.326	1.79	1.1
Q531421		1.2	2.7	<0.002	0.67	0.29	0.6	<1	<0.2	4.7	<0.05	0.13	<0.2	0.014	0.06	0.6
Q531422		24.7	70.6	0.011	0.17	2.01	7.9	10	1.5	62.5	0.62	0.41	4.8	0.173	1.25	16.7
Q531424		1.8	1.3	<0.002	0.13	0.18	0.5	1	<0.2	6.7	<0.05	0.07	0.2	0.016	0.03	0.4
Q531447		15.2	127.0	<0.002	0.24	0.07	17.5	1	1.0	389	0.64	<0.05	7.4	0.368	1.01	2.6
Q531448		14.2	20.5	0.206	>10.0	0.34	3.3	40	0.8	33.4	0.86	0.82	8.5	0.179	0.50	56.5
Q531449		20.3	100.0	0.057	>10.0	3.14	7.5	14	1.3	74.3	0.75	0.15	10.3	0.118	9.13	19.6
Q531450		<0.5	0.8	<0.002	0.05	0.08	0.1	<1	<0.2	2.1	<0.05	<0.05	<0.2	<0.005	0.04	0.1

Commentaire: ***Corrected copy with C- IR18 reporting to 100% upper limit***

***** Voir la page d'annexe pour les commentaires en ce qui concerne ce certificat *****



ALS Canada Ltd.
2103 Dollarton Hwy
North Vancouver BC V7H 0A7
Téléphone: 604 984 0221 Télécopieur: 604 984 0218
www.alsglobal.com

À: FOCUS GRAPHITE INC.
912 - 130 ALBERT STREET
OTTAWA ON K1P 5G4

Page: 2 - D
Nombre total de pages: 2 (A - D)
plus les pages d'annexe
Finalisée date: 2- FEVR- 2015
Compte: FOMETA

Projet: LAC TETEPISCA

CERTIFICAT D'ANALYSE VO14174657

Description échantillon	Méthode élément unités L.D.	ME- MS61	ME- MS61	ME- MS61	ME- MS61	ME- MS61
		V ppm 1	W ppm 0.1	Y ppm 0.1	Zn ppm 2	Zr ppm 0.5
Q531401		398	1.8	48.2	334	60.0
Q531402		44	0.2	1.9	130	14.6
Q531403		42	0.3	21.7	10	19.3
Q531405		367	1.0	31.8	445	170.5
Q531406		405	0.8	38.1	535	56.1
Q531407		36	2.2	30.9	15	34.5
Q531408		676	0.8	17.2	126	32.4
Q531409		2	0.3	0.2	<2	1.3
Q531410		358	1.1	22.4	226	93.1
Q531411		1020	0.5	26.2	102	17.6
Q531412		1390	0.6	24.6	196	60.1
Q531413		595	0.8	21.4	1100	82.8
Q531414		70	0.3	17.3	87	37.9
Q531415		721	2.8	60.2	1000	84.5
Q531416		1160	1.9	53.5	424	220
Q531417		465	0.6	10.7	137	19.6
Q531418		761	5.4	52.4	1020	100.5
Q531419		54	4.2	5.9	105	96.4
Q531421		32	0.2	4.4	195	8.5
Q531422		685	6.3	63.1	64	102.0
Q531424		27	0.2	8.1	15	7.3
Q531447		126	0.2	16.9	98	82.6
Q531448		768	1.2	23.7	117	58.5
Q531449		572	1.0	16.5	70	116.5
Q531450		3	0.1	0.2	<2	0.6

Commentaire: ***Corrected copy with C- IR18 reporting to 100% upper limit***

***** Voir la page d'annexe pour les commentaires en ce qui concerne ce certificat *****

Annexe 6: Certificat d'analyses lithogéochimiques VO14174556.

Projet Lac Tétépisca, campagne de prospection 2014

(analyses 531404, 531420, 531423 seulement)



ALS Canada Ltd.
 2103 Dollarton Hwy
 North Vancouver BC V7H 0A7
 Téléphone: 604 984 0221 Télécopieur: 604 984 0218
 www.alsglobal.com

À: FOCUS GRAPHITE INC.
 912 - 130 ALBERT STREET
 OTTAWA ON K1P 5G4

Page: 1
 Nombre total de pages: 2 (A - E)
 plus les pages d'annexe
 Finalisée date: 3- DEC- 2014
 Compte: FOMETA

CERTIFICAT VO14174556

Projet: LAC TETEPISCA

Ce rapport s'applique aux 24 échantillons de carotte forage soumis à notre laboratoire de Val d'Or, QC, Canada le 17- NOV- 2014.

Les résultats sont transmis à:

BENOIT LAFRANCE

GUILLAUME MATHIEU

PRÉPARATION ÉCHANTILLONS

CODE ALS	DESCRIPTION
WEI- 21	Poids échantillon reçu
LOG- 22	Entrée échantillon - Reçu sans code barre
CRU- 31	Granulation - 70 % < 2 mm
CRU- QC	Test concassage QC
PUL- QC	Test concassage QC
SPL- 21	Échant. fractionné - div. riffles
PUL- 31	Pulvérisé à 85 % < 75 um

PROCÉDURES ANALYTIQUES

CODE ALS	DESCRIPTION	INSTRUMENT
ME- MS42	Max. 34 éléments par ICP- MS	ICP- MS
OA- GRA05	Perte par calcination à 1 000 C	WST- SEQ
TOT- ICP06		ICP- AES
ME- 4ACD81	Métaux par digestion de 4 acides	ICP- AES
ME- ICP06	Roche entière - ICP- AES	ICP- AES
C- IR07	Total carbone (Leco)	LECO
S- IR08	Soufre total (Leco)	LECO
ME- MS81	Fusion Lithium Borate ICP- MS	ICP- MS

À: FOCUS GRAPHITE INC.
 ATTN: GUILLAUME MATHIEU
 138 RUE PRICE, BUREAU 205
 CHICOUTIMI QC G7J 1G8

Ce rapport est final et remplace tout autre rapport préliminaire portant ce numéro de certificat. Les résultats s'appliquent aux échantillons soumis. Toutes les pages de ce rapport ont été vérifiées et approuvées avant publication.

***** Voir la page d'annexe pour les commentaires en ce qui concerne ce certificat *****

Signature:

Colin Ramshaw, Vancouver Laboratory Manager



ALS Canada Ltd.
2103 Dollarton Hwy
North Vancouver BC V7H 0A7
Téléphone: 604 984 0221 Télécopieur: 604 984 0218
www.alsglobal.com

À: FOCUS GRAPHITE INC.
912 - 130 ALBERT STREET
OTTAWA ON K1P 5G4

Page: 2 - A
Nombre total de pages: 2 (A - E)
plus les pages d'annexe
Finalisée date: 3- DEC- 2014
Compte: FOMETA

Projet: LAC TETEPISCA

CERTIFICAT D'ANALYSE VO14174556

Description échantillon	Méthode élément unités L.D.	WEI- 21	ME- ICP06	ME- ICP06	ME- ICP06	ME- ICP06	ME- ICP06	ME- ICP06	ME- ICP06	ME- ICP06	ME- ICP06	ME- ICP06	ME- ICP06	ME- ICP06	ME- ICP06	C- IR07
		Poids reçu kg	SiO2 %	Al2O3 %	Fe2O3 %	CaO %	MgO %	Na2O %	K2O %	Cr2O3 %	TiO2 %	MnO %	P2O5 %	SrO %	BaO %	C %
		0.02	0.01	0.01	0.01	0.01	0.01	0.01	0.01	0.01	0.01	0.01	0.01	0.01	0.01	0.01
Q531404		0.69	47.7	1.00	49.3	1.15	2.60	0.06	0.07	<0.01	0.02	0.37	0.03	<0.01	<0.01	0.21
Q531420		0.60	50.1	0.20	43.4	0.78	7.03	0.05	0.06	<0.01	0.01	1.44	0.05	<0.01	<0.01	0.12
Q531423		1.17	45.6	3.10	37.5	5.67	5.15	0.12	0.03	<0.01	0.16	2.69	0.13	0.01	<0.01	0.43
Q531425		1.09	65.3	15.40	7.99	1.79	2.90	2.76	3.20	0.02	0.90	0.07	0.19	0.03	0.08	0.22
Q531427		0.61	66.5	15.05	6.97	2.32	2.28	3.27	2.31	0.01	0.69	0.06	0.16	0.03	0.06	0.16
Q531428		1.13	51.6	13.20	14.80	8.90	7.68	0.35	1.10	0.02	0.73	0.26	0.04	<0.01	0.01	0.14
Q531429		0.72	48.4	15.70	13.80	12.50	8.10	1.13	0.17	0.02	0.73	0.23	0.05	<0.01	<0.01	0.11
Q531430		1.08	65.0	14.45	6.89	3.28	2.25	2.68	1.60	0.01	0.68	0.12	0.19	0.03	0.04	0.21
Q531431		0.52	26.2	0.13	0.38	28.3	19.10	0.03	0.04	<0.01	0.01	0.01	0.01	<0.01	<0.01	7.25
Q531432		0.58	79.0	0.28	3.61	8.51	5.02	0.04	0.05	<0.01	0.01	0.23	0.21	<0.01	<0.01	1.02
Q531433		0.78	2.97	0.01	0.12	31.4	21.2	0.02	0.02	<0.01	<0.01	0.01	0.01	<0.01	<0.01	12.80
Q531434		0.76	33.1	0.45	42.1	7.67	8.95	0.01	0.03	<0.01	0.04	2.56	0.10	<0.01	<0.01	2.51
Q531435		1.32	47.0	8.62	10.40	12.90	17.90	0.55	0.07	0.29	0.34	0.19	0.02	<0.01	<0.01	0.08
Q531436		1.14	45.5	14.55	14.15	12.60	9.03	2.25	0.23	0.01	1.10	0.26	0.07	0.01	<0.01	0.17
Q531437		0.85	65.3	14.25	7.22	2.14	2.34	2.93	2.71	0.02	0.79	0.08	0.20	0.03	0.09	0.11
Q531438		0.72	58.3	10.80	17.65	5.53	2.89	0.29	0.81	0.01	0.40	1.03	0.25	0.01	0.02	0.29
Q531439		0.81	3.52	0.06	0.23	31.0	21.0	0.02	0.02	<0.01	0.01	0.01	0.01	<0.01	<0.01	13.10
Q531440		0.66	46.4	15.40	16.25	8.31	6.30	3.16	0.91	0.01	2.23	0.20	0.35	0.04	0.05	0.18
Q531441		0.48	5.53	0.05	0.21	30.2	20.6	0.01	0.02	<0.01	<0.01	0.01	0.01	<0.01	<0.01	12.30
Q531442		0.83	70.9	0.44	14.30	3.28	5.27	0.03	0.03	<0.01	0.03	1.49	0.24	<0.01	<0.01	0.44
Q531443		0.65	45.9	5.44	11.15	10.65	20.6	0.28	0.05	0.30	0.33	0.21	0.02	<0.01	<0.01	0.21
Q531444		0.69	66.4	14.40	6.76	2.16	2.40	2.85	3.03	0.02	0.77	0.06	0.19	0.03	0.08	0.10
Q531445		0.95	50.1	9.36	9.88	12.00	16.35	0.92	0.14	0.27	0.32	0.19	0.03	<0.01	<0.01	0.07
Q531446		0.91	48.5	5.69	11.15	12.00	20.6	0.45	0.08	0.38	0.34	0.22	0.02	<0.01	<0.01	0.26

***** Voir la page d'annexe pour les commentaires en ce qui concerne ce certificat *****



ALS Canada Ltd.
2103 Dollarton Hwy
North Vancouver BC V7H 0A7
Téléphone: 604 984 0221 Télécopieur: 604 984 0218
www.alsglobal.com

À: FOCUS GRAPHITE INC.
912 - 130 ALBERT STREET
OTTAWA ON K1P 5G4

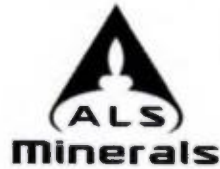
Page: 2 - B
Nombre total de pages: 2 (A - E)
plus les pages d'annexe
Finalisée date: 3- DEC- 2014
Compte: FOMETA

Projet: LAC TETEPISCA

CERTIFICAT D'ANALYSE VO14174556

Description échantillon	Méthode	S- IR08	ME- MS81	ME- MS81	ME- MS81	ME- MS81	ME- MS81	ME- MS81	ME- MS81	ME- MS81	ME- MS81	ME- MS81	ME- MS81	ME- MS81	ME- MS81	ME- MS81
	élément unités L.D.	S %	Ba ppm	Ce ppm	Cr ppm	Cs ppm	Dy ppm	Er ppm	Eu ppm	Ga ppm	Gd ppm	Hf ppm	Ho ppm	La ppm	Lu ppm	Nb ppm
		0.01	0.5	0.5	10	0.01	0.05	0.03	0.03	0.1	0.05	0.2	0.01	0.5	0.01	0.2
Q531404		0.05	11.5	2.3	10	0.11	0.43	0.29	0.11	3.5	0.33	0.2	0.09	1.1	0.04	1.4
Q531420		0.15	9.7	4.5	10	0.08	0.47	0.32	0.13	2.1	0.51	0.2	0.11	2.6	0.05	<0.2
Q531423		0.02	8.8	21.7	30	0.06	2.53	1.87	0.65	7.6	2.41	0.7	0.60	11.9	0.26	4.4
Q531425		0.14	733	83.0	130	2.70	5.61	3.43	1.36	20.6	5.73	5.8	1.12	40.6	0.53	12.2
Q531427		0.04	522	65.2	110	2.23	4.38	2.76	1.27	18.5	4.86	4.8	0.97	32.2	0.41	9.7
Q531428		0.24	99.9	14.1	170	2.26	2.78	1.69	0.71	14.4	2.81	1.4	0.57	5.8	0.27	4.8
Q531429		0.07	6.4	6.1	180	0.15	2.53	1.54	0.56	13.8	2.09	0.8	0.60	2.3	0.26	1.9
Q531430		0.05	384	68.0	110	1.79	4.59	2.88	1.43	18.1	5.31	6.1	0.99	32.9	0.46	11.6
Q531431		<0.01	5.2	0.6	10	0.05	0.08	0.12	0.03	0.2	0.12	<0.2	0.03	0.5	<0.01	<0.2
Q531432		0.01	4.8	3.3	10	0.31	0.60	0.45	0.13	0.7	0.59	<0.2	0.14	3.3	0.06	0.2
Q531433		<0.01	3.3	<0.5	<10	0.02	0.05	0.05	<0.03	0.1	<0.05	<0.2	0.02	<0.5	<0.01	<0.2
Q531434		0.39	8.3	16.7	10	0.05	1.80	1.31	0.55	3.4	1.84	0.2	0.44	9.4	0.15	2.7
Q531435		0.03	9.0	3.1	2140	0.04	1.43	1.03	0.29	7.5	1.12	0.5	0.33	1.2	0.14	0.9
Q531436		0.08	9.5	11.9	70	0.02	3.76	2.34	0.87	18.2	2.85	1.9	0.78	4.7	0.32	3.8
Q531437		0.04	822	64.0	120	2.39	4.80	2.90	1.20	17.7	5.39	5.6	1.07	31.5	0.44	10.5
Q531438		4.86	151.0	77.2	70	3.27	5.69	3.47	1.45	13.5	6.04	3.2	1.15	33.3	0.49	8.0
Q531439		<0.01	2.1	<0.5	<10	0.01	0.08	0.07	0.03	0.2	0.09	<0.2	0.01	<0.5	<0.01	<0.2
Q531440		0.14	455	46.3	90	0.20	6.36	3.85	2.07	22.0	6.54	5.0	1.29	21.1	0.50	6.3
Q531441		<0.01	2.8	0.6	<10	0.02	0.05	0.06	<0.03	0.1	0.05	<0.2	0.01	<0.5	<0.01	<0.2
Q531442		4.12	3.1	18.4	10	0.11	1.91	1.24	0.60	3.7	2.04	0.3	0.43	10.7	0.22	2.6
Q531443		0.08	4.0	2.3	2140	0.05	1.26	0.70	0.24	6.2	1.04	0.4	0.27	0.8	0.09	0.8
Q531444		0.03	762	76.9	120	2.42	4.89	2.85	1.27	18.9	5.71	6.7	0.99	39.4	0.44	12.4
Q531445		0.02	9.1	3.8	1870	0.02	1.43	0.84	0.32	8.0	1.22	0.5	0.30	1.5	0.11	4.5
Q531446		0.07	5.4	2.9	2700	0.03	1.40	0.68	0.32	6.5	1.23	0.6	0.30	1.1	0.13	1.4

***** Voir la page d'annexe pour les commentaires en ce qui concerne ce certificat *****



ALS Canada Ltd.
2103 Dollarton Hwy
North Vancouver BC V7H 0A7
Téléphone: 604 984 0221 Télécopieur: 604 984 0218
www.alsglobal.com

À: FOCUS GRAPHITE INC.
912 - 130 ALBERT STREET
OTTAWA ON K1P 5G4

Page: 2 - C
Nombre total de pages: 2 (A - E)
plus les pages d'annexe
Finalisée date: 3- DEC- 2014
Compte: FOMETA

Projet: LAC TETEPISCA

CERTIFICAT D'ANALYSE VO14174556

Description échantillon	Méthode élément unités L.D.	ME- MS81	ME- MS81	ME- MS81	ME- MS81	ME- MS81	ME- MS81	ME- MS81	ME- MS81	ME- MS81	ME- MS81	ME- MS81	ME- MS81	ME- MS81	ME- MS81	
		Nd ppm	Pr ppm	Rb ppm	Sm ppm	Sr ppm	Sr ppm	Ta ppm	Tb ppm	Th ppm	Tm ppm	U ppm	V ppm	W ppm	Y ppm	Yb ppm
		0.1	0.03	0.2	0.03	1	0.1	0.1	0.01	0.05	0.01	0.05	5	1	0.5	0.03
Q531404		1.4	0.31	1.4	0.32	<1	13.4	0.1	0.07	0.13	0.05	0.21	26	<1	3.3	0.27
Q531420		2.2	0.52	0.9	0.40	<1	7.9	<0.1	0.07	0.11	0.05	0.17	18	<1	4.0	0.38
Q531423		11.9	2.75	0.9	2.32	1	58.1	0.2	0.41	0.55	0.28	0.83	119	<1	18.7	1.79
Q531425		39.4	9.91	108.5	7.59	1	242	0.5	0.94	10.15	0.50	1.94	156	1	30.4	3.53
Q531427		32.3	7.86	77.7	6.07	1	303	0.5	0.77	8.27	0.38	2.01	124	1	25.3	2.87
Q531428		9.3	1.97	41.7	2.60	1	26.0	0.4	0.46	1.47	0.24	1.29	309	1	15.3	1.68
Q531429		5.5	0.98	1.6	1.61	<1	50.1	0.1	0.39	0.21	0.24	0.05	345	<1	14.6	1.68
Q531430		32.8	8.26	59.8	6.23	1	269	0.6	0.85	8.98	0.48	3.23	116	1	26.9	2.97
Q531431		0.4	0.10	0.5	0.13	<1	16.7	<0.1	0.02	0.07	0.02	0.57	<5	<1	1.7	0.05
Q531432		2.7	0.61	0.9	0.53	<1	19.3	<0.1	0.09	0.25	0.07	1.26	14	1	6.3	0.36
Q531433		0.2	0.04	<0.2	0.05	<1	18.6	<0.1	0.01	<0.05	<0.01	0.25	<5	<1	0.9	0.03
Q531434		8.7	1.95	0.2	1.69	<1	16.9	0.1	0.27	0.28	0.17	0.59	29	<1	14.4	1.26
Q531435		2.5	0.48	0.8	1.03	<1	20.4	0.1	0.22	0.26	0.13	<0.05	178	1	7.9	0.92
Q531436		8.4	1.68	1.3	2.65	1	62.2	0.2	0.50	0.54	0.30	0.10	364	<1	19.9	2.22
Q531437		31.0	7.79	86.9	6.37	1	256	0.6	0.88	7.50	0.47	1.75	143	1	26.7	3.06
Q531438		32.1	7.99	46.8	6.54	1	96.4	0.6	0.93	8.86	0.46	7.08	146	1	32.8	3.38
Q531439		0.4	0.05	<0.2	0.08	<1	20.9	<0.1	0.01	0.05	0.01	0.18	<5	<1	1.0	0.04
Q531440		28.5	6.17	16.9	6.37	1	294	0.4	1.05	2.10	0.54	0.37	246	<1	33.4	3.61
Q531441		0.3	0.07	0.2	0.06	<1	20.4	<0.1	0.01	0.05	0.01	0.37	<5	<1	0.7	<0.03
Q531442		9.1	2.15	1.2	1.89	<1	29.7	0.1	0.30	0.43	0.20	1.51	45	<1	16.1	1.23
Q531443		2.4	0.43	0.8	0.88	<1	20.6	0.1	0.19	0.07	0.09	0.07	180	<1	6.9	0.59
Q531444		36.9	9.67	92.1	6.84	2	282	0.7	0.89	9.87	0.41	2.17	128	1	27.1	3.02
Q531445		2.7	0.59	1.7	0.87	<1	39.6	0.1	0.20	0.15	0.12	0.06	177	<1	7.5	0.83
Q531446		2.5	0.49	0.9	0.73	<1	23.9	0.1	0.23	0.10	0.12	0.06	198	<1	7.9	0.76

***** Voir la page d'annexe pour les commentaires en ce qui concerne ce certificat *****



ALS Canada Ltd.
2103 Dollarton Hwy
North Vancouver BC V7H 0A7
Téléphone: 604 984 0221 Télécopieur: 604 984 0218
www.alsglobal.com

À: FOCUS GRAPHITE INC.
912 - 130 ALBERT STREET
OTTAWA ON K1P 5G4

Page: 2 - D
Nombre total de pages: 2 (A - E)
plus les pages d'annexe
Finalisée date: 3- DEC- 2014
Compte: FOMETA

Projet: LAC TETEPISCA

CERTIFICAT D'ANALYSE VO14174556

Description échantillon	Méthode élément unités L.D.	ME- MS81	ME- MS42	ME- MS42	ME- MS42	ME- MS42	ME- MS42	ME- MS42	ME- MS42	GA- GRA05	TOT- ICP06	ME- 4ACD81	ME- 4ACD81	ME- 4ACD81	ME- 4ACD81	ME- 4ACD81
		Zr ppm	As ppm	Bi ppm	Hg ppm	Sb ppm	Se ppm	Te ppm	Tl ppm	LOI %	Total %	Ag ppm	Cd ppm	Co ppm	Cu ppm	Li ppm
Q531404	9	0.7	0.01	<0.005	<0.05	0.2	<0.01	<0.02	-3.20	99.10	<0.5	<0.5	7	3	10	
Q531420	8	0.5	0.02	<0.005	<0.05	<0.2	0.02	<0.02	-2.51	100.61	<0.5	<0.5	11	5	<10	
Q531423	29	0.3	0.01	0.006	0.05	<0.2	<0.01	<0.02	-0.66	99.50	<0.5	0.7	15	7	10	
Q531425	206	<0.1	0.01	0.014	<0.05	0.8	0.04	0.60	0.72	101.35	<0.5	<0.5	18	66	30	
Q531427	168	0.1	0.01	0.011	<0.05	0.6	0.01	0.49	0.74	100.45	<0.5	<0.5	15	16	30	
Q531428	46	0.5	0.10	0.006	<0.05	0.6	0.05	0.25	1.71	100.40	<0.5	<0.5	37	21	30	
Q531429	26	<0.1	0.04	0.016	<0.05	0.3	0.02	<0.02	0.65	101.48	<0.5	<0.5	48	74	10	
Q531430	219	<0.1	0.03	0.014	<0.05	0.5	0.02	0.28	1.41	98.63	<0.5	<0.5	14	77	40	
Q531431	2	0.2	<0.01	<0.005	<0.05	0.2	<0.01	<0.02	25.0	99.21	<0.5	<0.5	<1	<1	<10	
Q531432	7	3.3	0.01	0.007	0.09	0.2	<0.01	<0.02	2.81	99.77	<0.5	<0.5	1	1	<10	
Q531433	<2	0.2	<0.01	0.005	<0.05	<0.2	<0.01	<0.02	45.1	100.86	<0.5	<0.5	<1	<1	<10	
Q531434	11	3.9	0.01	0.022	0.10	0.6	0.05	<0.02	5.48	100.49	<0.5	0.5	10	4	<10	
Q531435	13	1.9	0.01	0.007	<0.05	0.2	<0.01	0.04	1.14	99.42	<0.5	<0.5	71	53	<10	
Q531436	56	<0.1	0.01	<0.005	<0.05	0.4	0.03	<0.02	0.72	100.48	<0.5	<0.5	53	118	10	
Q531437	202	0.1	0.01	0.006	<0.05	0.5	0.02	0.41	0.76	98.86	<0.5	<0.5	15	53	30	
Q531438	107	0.7	0.28	0.014	0.05	3.5	0.31	0.47	2.80	100.79	0.6	1.6	23	96	20	
Q531439	<2	<0.1	<0.01	0.006	<0.05	<0.2	<0.01	<0.02	44.4	100.28	<0.5	<0.5	<1	1	<10	
Q531440	187	0.2	0.01	0.007	<0.05	0.4	<0.01	0.10	0.00	99.61	<0.5	<0.5	56	58	20	
Q531441	<2	<0.1	<0.01	0.005	<0.05	0.2	<0.01	<0.02	42.6	99.24	<0.5	<0.5	<1	<1	<10	
Q531442	18	4.6	0.02	0.026	0.20	1.4	0.21	0.03	2.64	98.65	0.6	0.5	4	32	<10	
Q531443	15	<0.1	<0.01	0.024	<0.05	<0.2	0.01	0.30	3.73	98.66	<0.5	<0.5	80	75	<10	
Q531444	249	<0.1	0.01	0.005	<0.05	0.6	0.02	0.42	0.55	99.70	<0.5	<0.5	14	15	30	
Q531445	16	<0.1	0.01	<0.005	<0.05	<0.2	0.01	<0.02	0.94	100.50	<0.5	<0.5	62	48	10	
Q531446	17	<0.1	<0.01	0.010	<0.05	0.2	0.03	0.05	1.94	101.37	<0.5	<0.5	79	53	<10	

**** Voir la page d'annexe pour les commentaires en ce qui concerne ce certificat ****



ALS Canada Ltd.
2103 Dollarton Hwy
North Vancouver BC V7H 0A7
Téléphone: 604 984 0221 Télécopieur: 604 984 0218
www.alsglobal.com

À: FOCUS GRAPHITE INC.
912 - 130 ALBERT STREET
OTTAWA ON K1P 5G4

Page: 2 - E
Nombre total de pages: 2 (A - E)
plus les pages d'annexe
Finalisée date: 3- DEC- 2014
Compte: FOMETA

Projet: LAC TETEPISCA

CERTIFICAT D'ANALYSE VO14174556

Description échantillon	Méthode élément unités L.D.	ME- 4ACD81	ME- 4ACD81	ME- 4ACD81	ME- 4ACD81	ME- 4ACD81
		Mo	Ni	Pb	Sc	Zn
		ppm 1	ppm 1	ppm 2	ppm 1	ppm 2
Q531404		<1	<1	<2	1	57
Q531420		<1	<1	<2	<1	8
Q531423		<1	18	2	7	46
Q531425		<1	52	8	18	133
Q531427		<1	41	6	16	103
Q531428		<1	61	10	45	107
Q531429		<1	74	<2	37	93
Q531430		<1	37	7	15	95
Q531431		<1	<1	2	<1	8
Q531432		<1	<1	4	<1	19
Q531433		<1	<1	<2	<1	2
Q531434		<1	<1	4	1	9
Q531435		<1	479	<2	41	53
Q531436		<1	74	<2	46	106
Q531437		<1	42	13	17	103
Q531438		4	34	6	12	114
Q531439		<1	<1	<2	<1	3
Q531440		<1	80	<2	25	145
Q531441		<1	<1	2	<1	5
Q531442		3	2	3	1	158
Q531443		<1	619	<2	40	40
Q531444		<1	41	10	15	102
Q531445		<1	418	2	35	64
Q531446		<1	615	<2	46	43

***** Voir la page d'annexe pour les commentaires en ce qui concerne ce certificat *****



ALS Canada Ltd.
 2103 Dollarton Hwy
 North Vancouver BC V7H 0A7
 Téléphone: 604 984 0221 Télécopieur: 604 984 0218
 www.alsglobal.com

À: FOCUS GRAPHITE INC.
 912 - 130 ALBERT STREET
 OTTAWA ON K1P 5G4

Page: Annexe 1
 Total # les pages d'annexe: 1
 Finalisée date: 3- DEC- 2014
 Compte: FOMETA

Projet: LAC TETEPISCA

CERTIFICAT D'ANALYSE VO14174556

	COMMENTAIRE DE CERTIFICAT			
	ADRESSE DE LABORATOIRE			
Applique à la Méthode:	Traité à ALS Val d'Or, 1324 Rue Turcotte, Val d'Or, QC, Canada. CRU- 31 CRU- QC LOG- 22 PUL- 31 PUL- QC SPL- 21 WEI- 21			
Applique à la Méthode:	Traité à ALS Vancouver, 2103 Dollarton Hwy, North Vancouver, BC, Canada. C- IR07 ME- 4ACD81 ME- ICP06 ME- MS42 ME- MS81 OA- GRA05 S- IR08 TOT- ICP06			